

Preventivi 2020

LITEBIRD



Giovanni Signorelli
INFN Sezione di Pisa

CdS 4 Luglio 2019

Perchè LiteBIRD ora

- Richiesta di apertura di una **nuova sigla di CSN2** per formalizzare la **partecipazione INFN** all'esperimento **LiteBIRD**
 - Partecipazione a livello “personale” da diversi anni finanziata da ASI/COSMOS
 - Identificati chiari contributi rilevanti dal punto di vista HW
- **LiteBIRD** è la prosecuzione naturale della fisica di **LSPE**
 - Esperienza creata in sezione e a livello nazionale sul **readout di rivelatori criogenici TES**
 - Esperienza esistente in sezione nella realizzazione di front-end (**meccanica-elettronica**) per esperimenti nello **spazio**
 - Sinergia a “feedback positivo”
- È il **momento giusto**
 - LiteBIRD è stata **appena approvata** (Maggio 2019) da JAXA come **unica Large-mission candidata per un lancio nel 2028**
 - Official announcement
 - [http://www.isas.jaxa.jp/home/rikou/godo/2019/0602/gbi7uzhxfmxz/
mision selection announcement may2019.pdf](http://www.isas.jaxa.jp/home/rikou/godo/2019/0602/gbi7uzhxfmxz/mision_selection_announcement_may2019.pdf)
 - Passaggio da pre-fase A a **fase-A** (design and feasibility) in cui si ridiscutono **responsabilità e competenze**



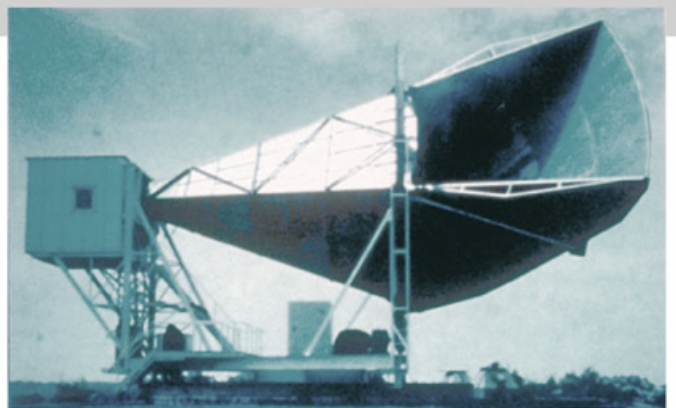
Piano della presentazione

- Breve richiamo alla fisica della polarizzazione della radiazione cosmica di fondo
- Lo strumento
- Panorama sul contributo italiano in generale
- Il contributo INFN
- Richieste finanziarie e di personale.

LiteBIRD science

1965

O(1)



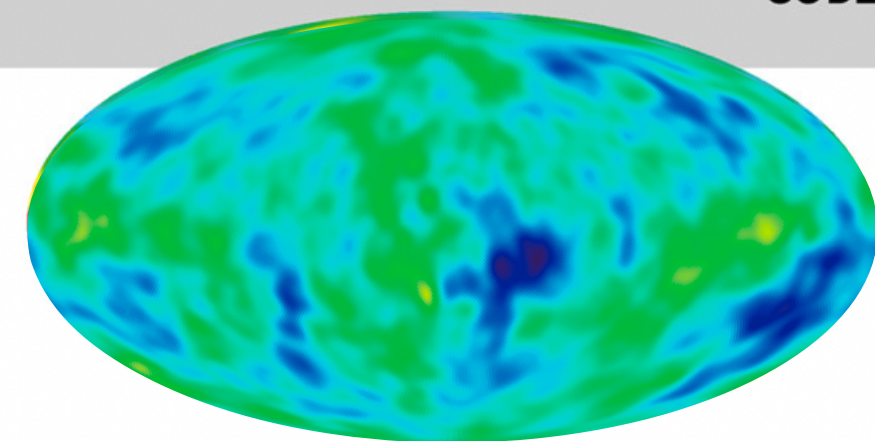
Penzias and Wilson



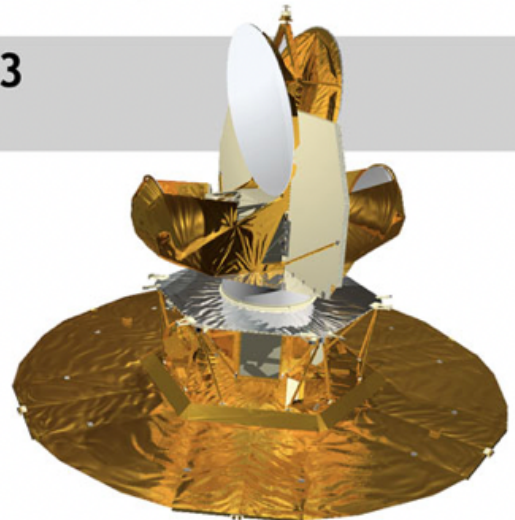
1992



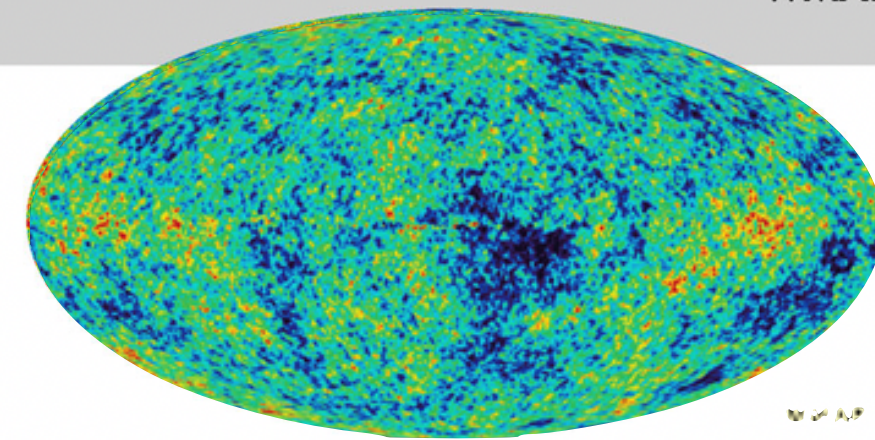
COBE



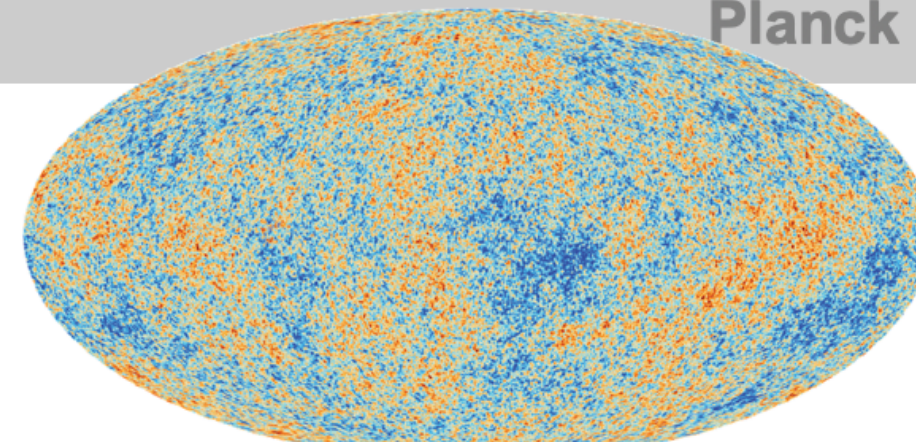
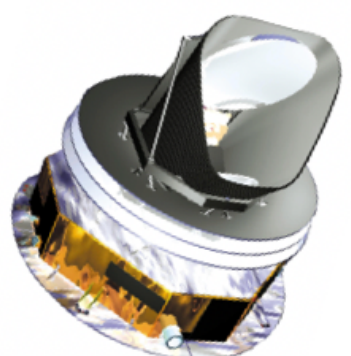
2003



WMAP



2009 2018



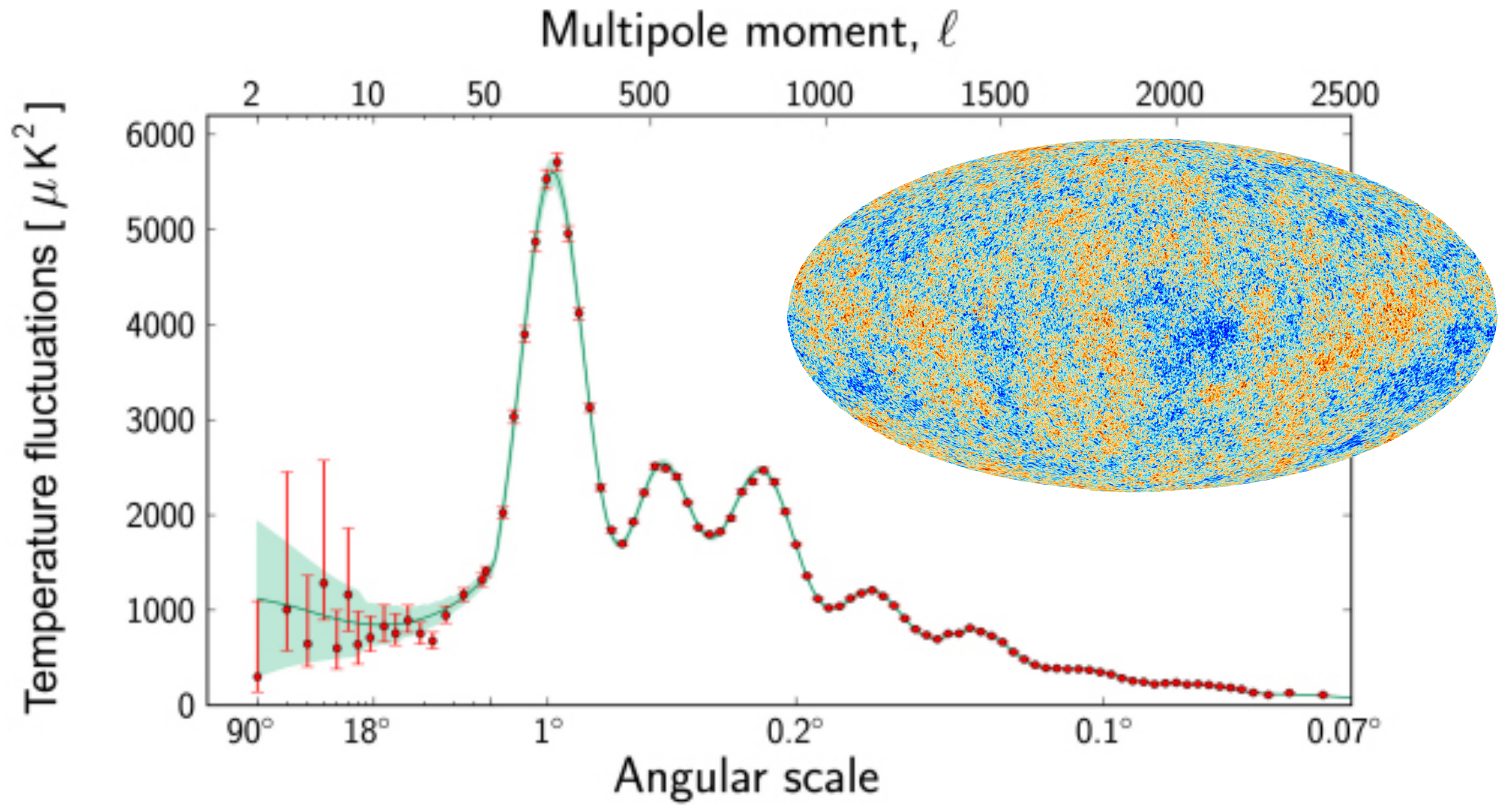
O(10^{-4})

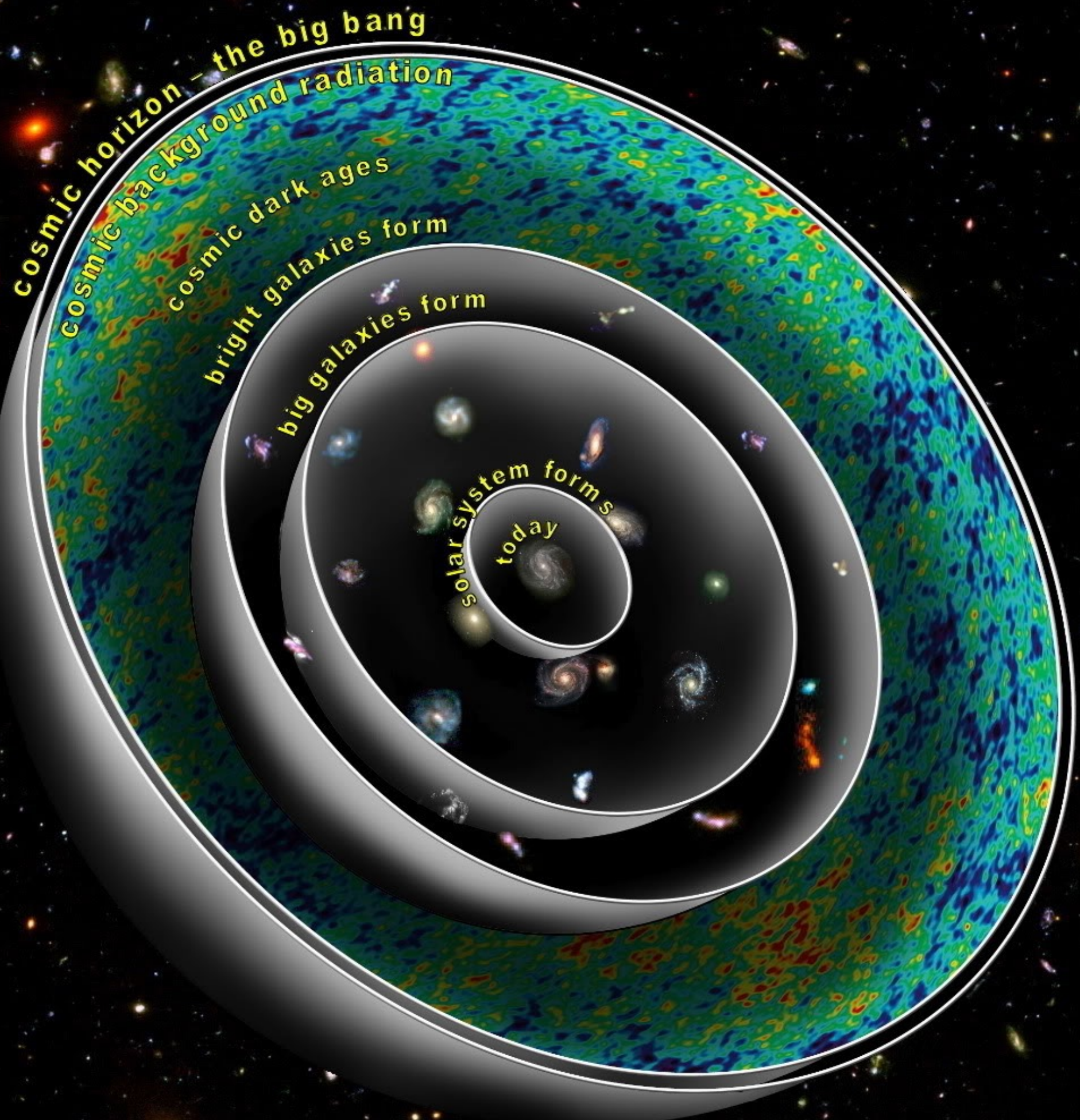
Risoluzione spaziale



Planck fit a 6 parametri

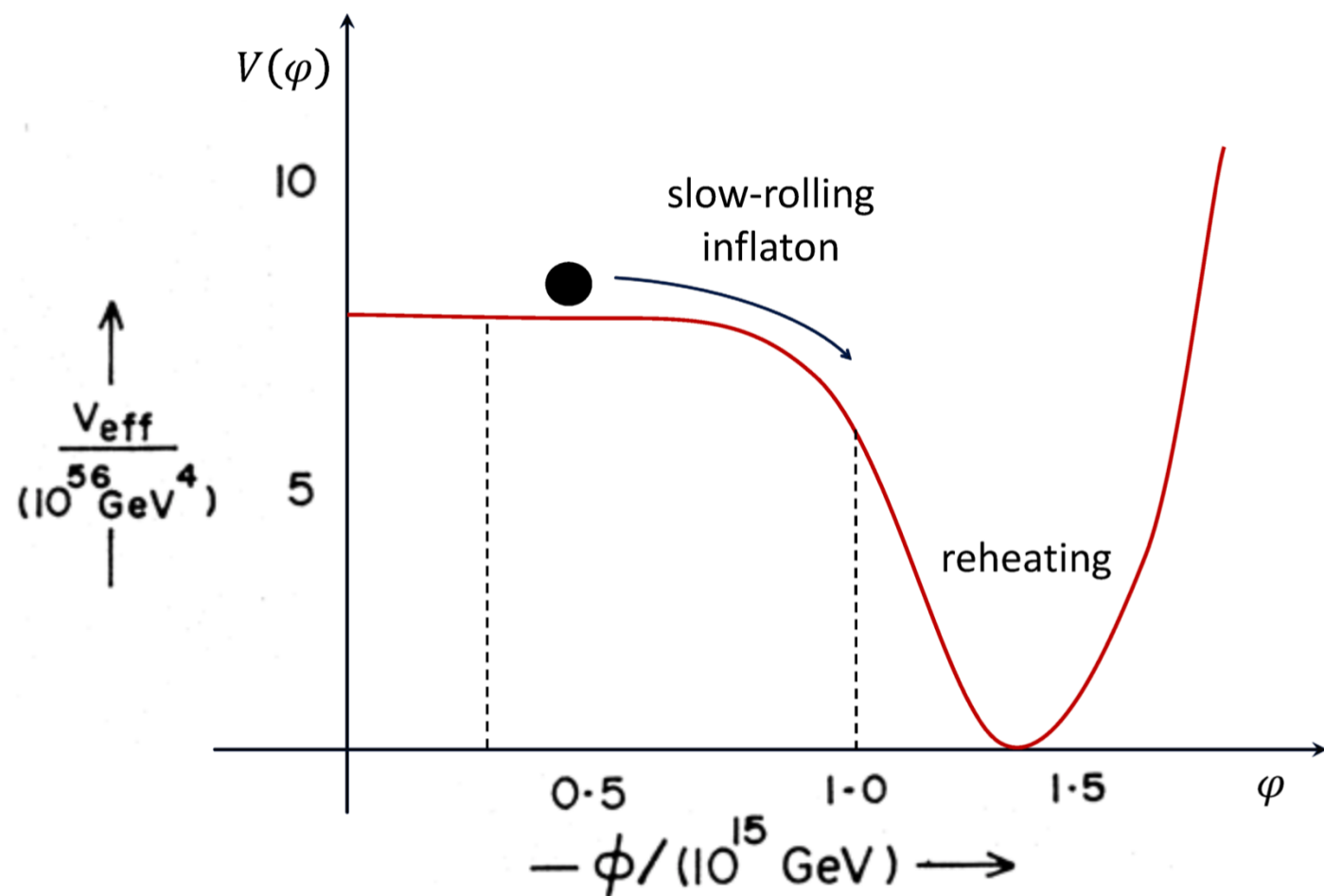
- dimensione dell'universo connesso all'istante del decoupling nella scala attuale (\rightarrow universo è piatto)
- quantità di materia (barioni/radiazione) al momento del decoupling
- parti dell'universo correlate su scale maggiori di quelle causali (ct0)





Cos'è l'inflazione

- L'energia dell'universo primordiale è dominata dal potenziale dell'inflatone
- L'inflatone, originariamente in un minimo locale del potenziale, rotola lentamente verso il vero minimo



$$\mathcal{H} = \left(\frac{\dot{a}}{a} \right) = \text{cost}$$

$$a(t) = a_e e^{\mathcal{H}(t-t_e)}$$

fattore 2^{60}

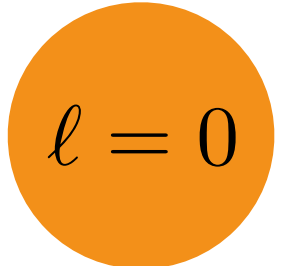
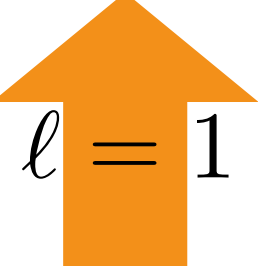
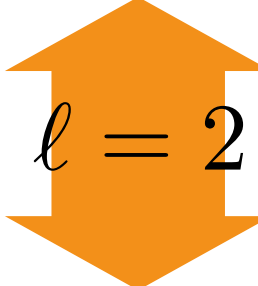
- Dilatazione dello spazio, in particolare della metrica
- Fluttuazioni quantistiche \Rightarrow origine delle anisotropie

- La metrica viene “dilatata”
- Le fluttuazioni della metrica vengono espansate di un fattore $2^{60} \sim 10^{18}$

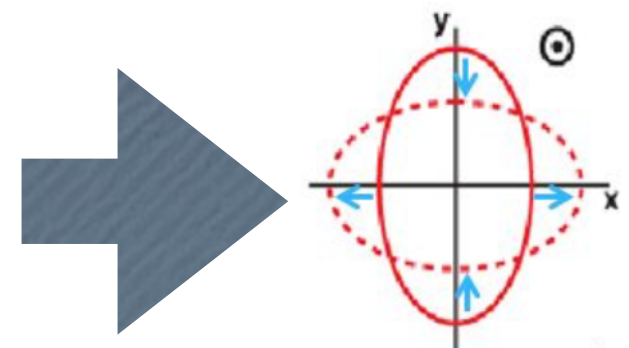
$$g_{\mu\nu} = \begin{pmatrix} & \\ & 4 \times 4 \\ & \end{pmatrix} \rightarrow 3 \times 3$$

$$M_{ij} = \begin{pmatrix} * & * & * \\ * & * & * \\ * & * & * \end{pmatrix} = \lambda \begin{pmatrix} 1 & 0 & 0 \\ 0 & 1 & 0 \\ 0 & 0 & 1 \end{pmatrix} + \begin{pmatrix} 0 & x & y \\ -x & 0 & z \\ -y & -z & 0 \end{pmatrix} + \begin{pmatrix} a & b & c \\ b & d & e \\ c & e & -a-d \end{pmatrix}$$

$$9 = 1 + 3 + 5$$

 $\ell = 0$
  $\ell = 1$
  $\ell = 2$

- Fluttuazioni
- scalari
- vettoriali
- tensoriali
- Onde Gravitazionali Primordiali!



Affermazioni

Studiando la polarizzazione della CMB
possiamo risalire ai primi istanti
di vita dell'universo (10^{-35} sec)

Possiamo risalire alla scala di energia
dell'inflazione che è correlata alla scala di energia
di Grande Unificazione ($10^{15 \div 16}$ GeV)

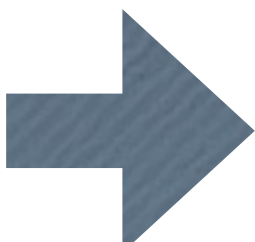
scalar perturbation spectrum

$$\Delta_{\mathcal{R}}^2(k) \equiv \frac{k^3}{2\pi^2} \langle |\mathcal{R}|^2 \rangle = \frac{1}{8\pi^2} \frac{H^2}{M_{\text{Pl}}^2 \epsilon}$$

tensor perturbation spectrum

$$\Delta_b^2(k) \equiv 2 \frac{k^3}{2\pi^2} \langle |h_{p,k}|^2 \rangle = \frac{2}{\pi^2} \frac{H^2}{M_{\text{Pl}}^2}$$

tensor-to scalar ratio related to inflation potential scale

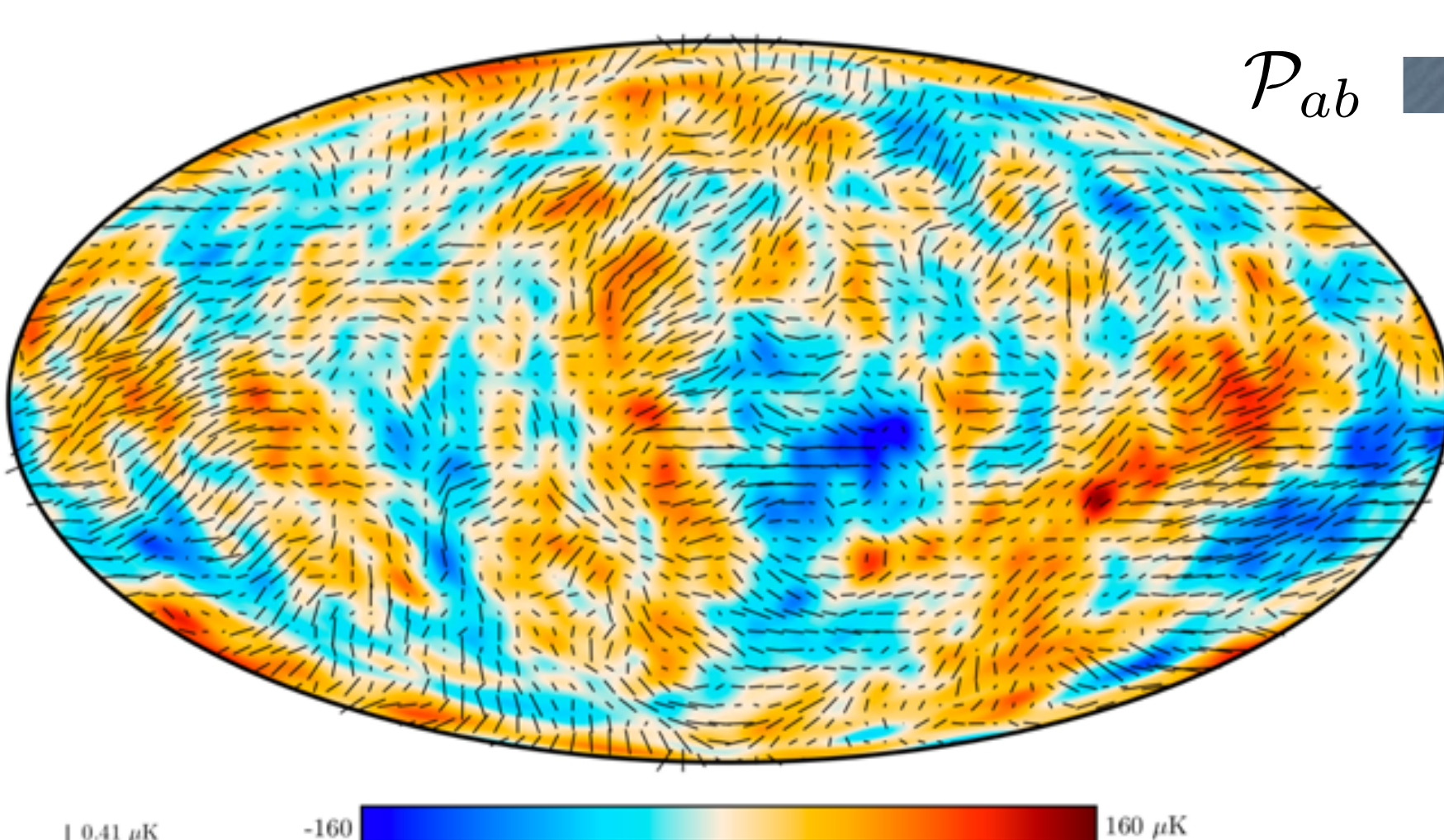


$$r \equiv \frac{\Delta_b^2}{\Delta_{\mathcal{R}}^2} = 16\epsilon \simeq 0.1 \left[\frac{V}{(2 \times 10^{16} \text{ GeV})^4} \right]$$

$$\epsilon = 3 \frac{\dot{\phi}^2/2}{V + \dot{\phi}^2/2} \simeq \frac{M_{\text{Pl}}^2}{2} \left(\frac{V'}{V} \right)^2$$

Come la misuro?

- Monopole term: 2.725 K blackbody $O(1)$
- Dipole term: 3.355 mK $O(10^{-3})$
- Anisotropy: 100 μK rms $O(10^{-4})$
- Tensor perturbations produce a background of primordial gravitational waves
 - E-mode polarization: 3 μK rms $O(10^{-6 \div 7})$
 - B-mode polarization: <500 nK rms



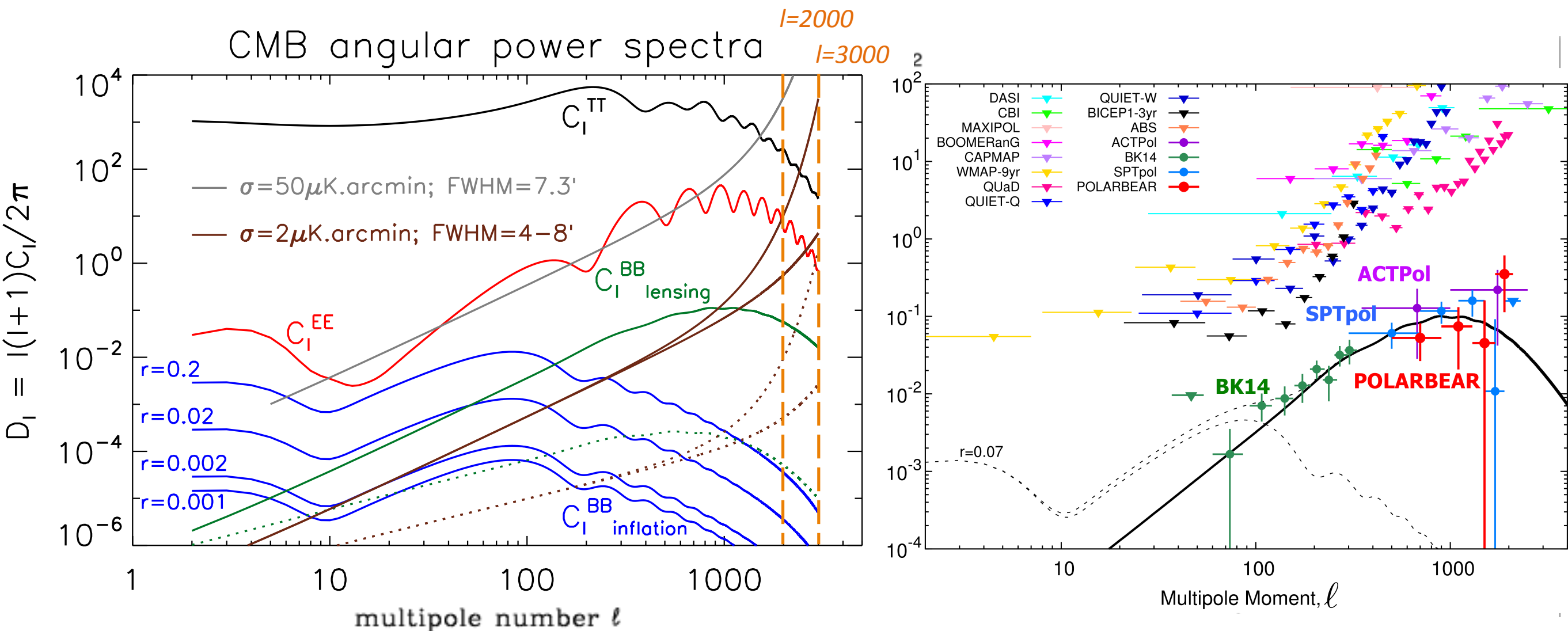
$$E \sim \partial_a \partial_b \mathcal{P}_{ab}$$
$$B \sim \epsilon_{ac} \partial_b \partial_c \mathcal{P}_{bc}$$

E-modes

B-modes

Come la misuro?

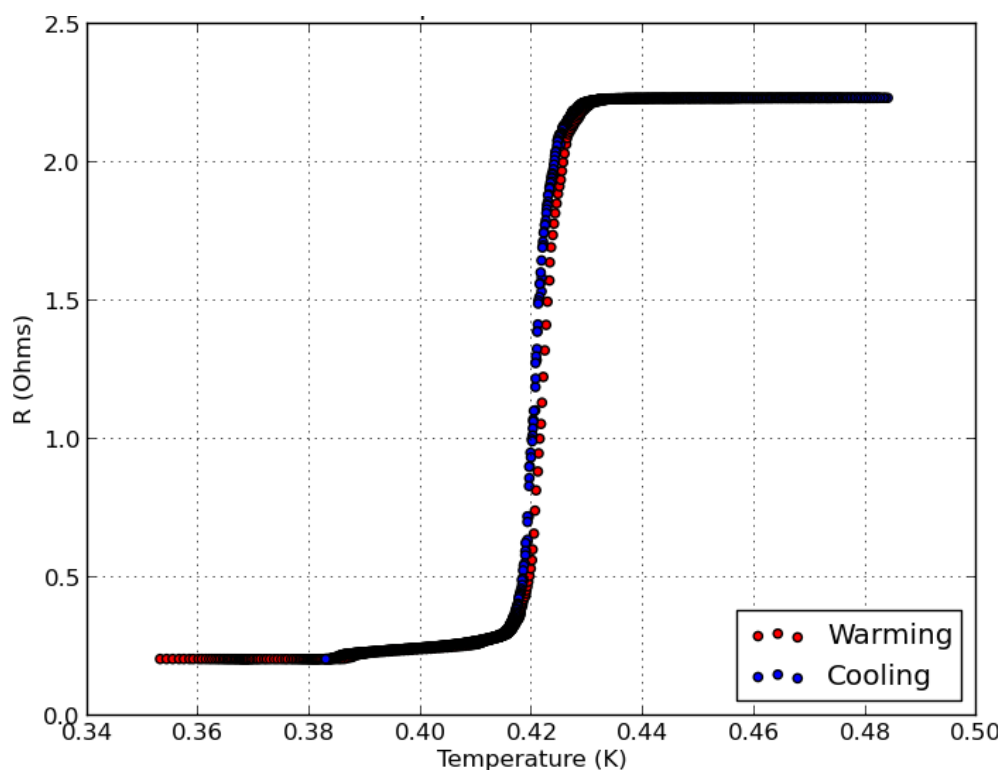
- Monopole term: 2.725 K blackbody $O(1)$
- Dipole term: 3.355 mK $O(10^{-3})$
- Anisotropy: 100 μK rms $O(10^{-4})$
- Tensor perturbations produce a background of primordial gravitational waves
 - E-mode polarization: 3 μK rms
 - B-mode polarization: <500 nK rms $O(10^{-6 \div 7})$



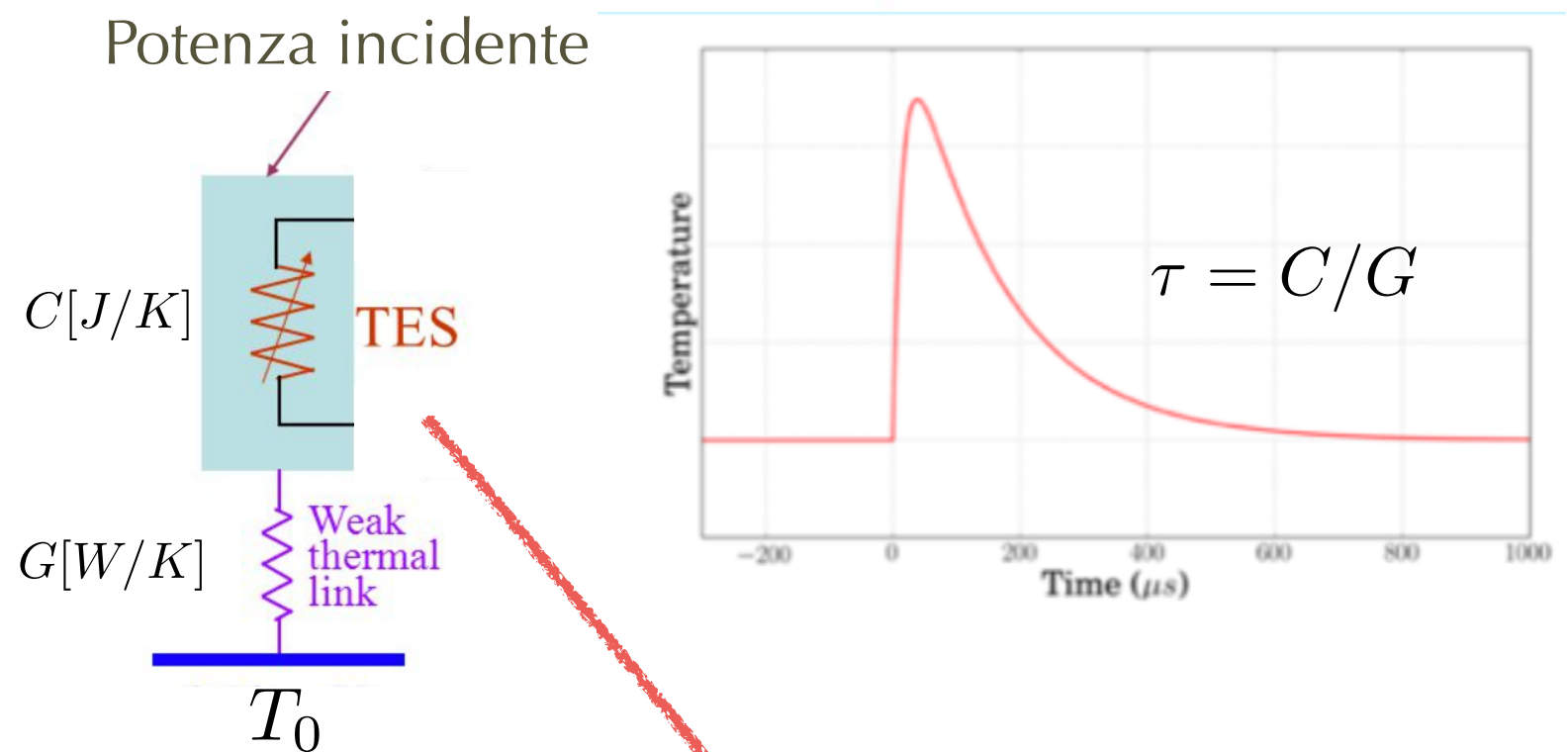
Transition-Edge Sensors

- “Termometri” che permettono di misurare **piccolissime variazioni** di **temperatura**
- Film **superconduttori** alla transizione di fase

steep $R(T)$



$$P_{\text{ott}} = C \frac{dT}{dt} + G (T - T_0)$$



$$\frac{10 \Omega}{1 \text{ mK}} = 10^4 \Omega/\text{K}$$

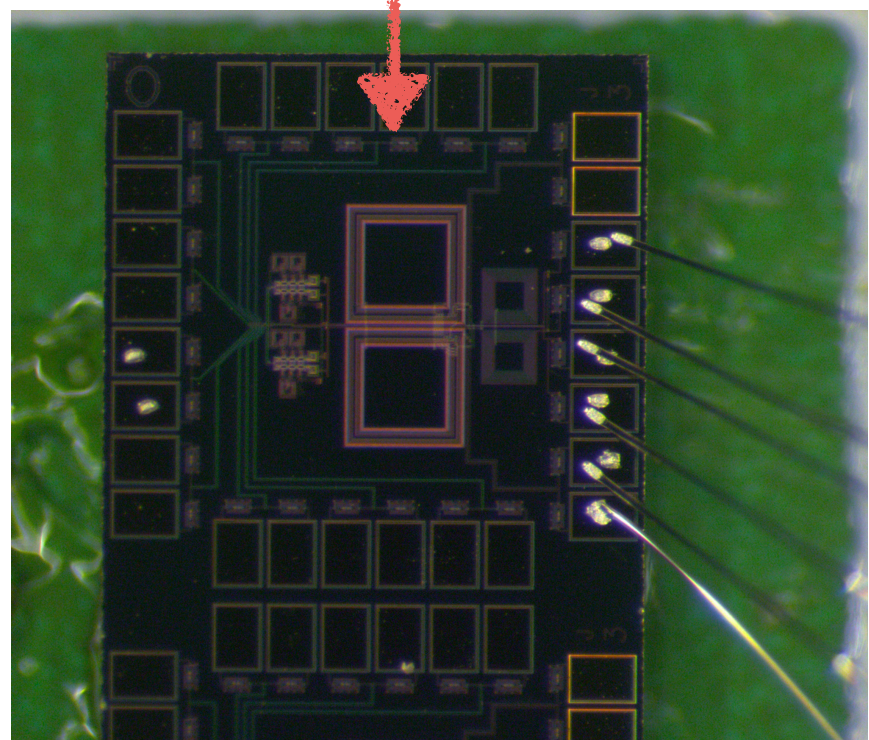
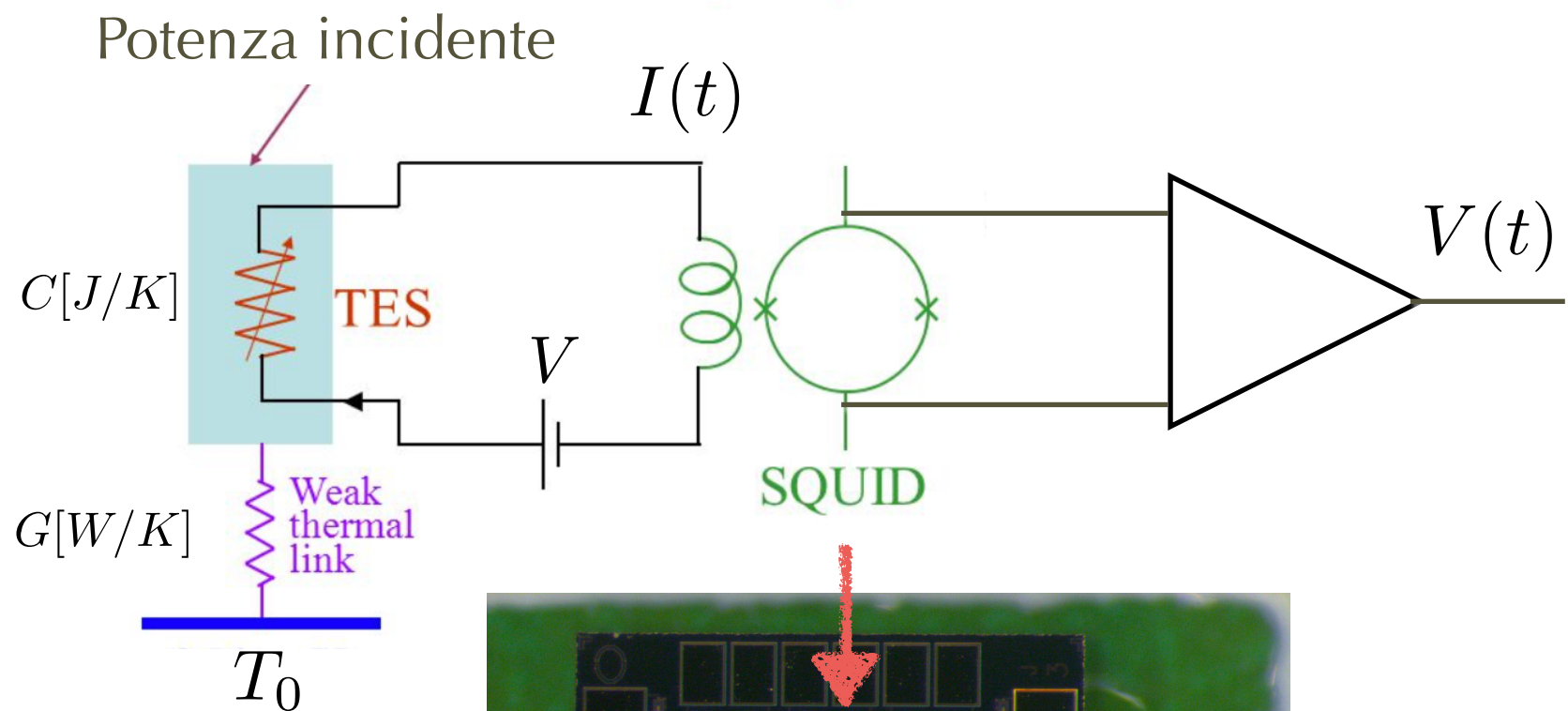
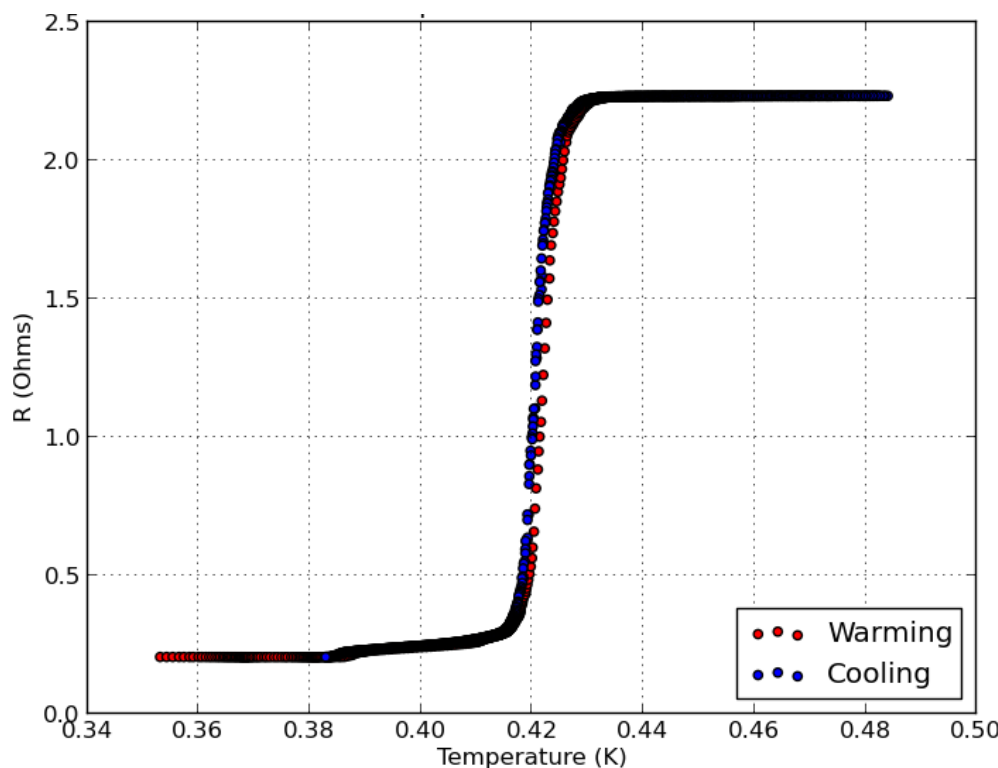
$$100 \text{ nK} \Rightarrow 1 \text{ m}\Omega$$



Transition-Edge Sensors

- “Termometri” che permettono di misurare piccolissime variazioni di temperatura
- Film superconduttori alla transizione di fase
- Voltage bias \Rightarrow read current through SQUID

$$P_{\text{ott}} + \frac{V^2}{R} = C \frac{dT}{dt} + G(T - T_0)$$

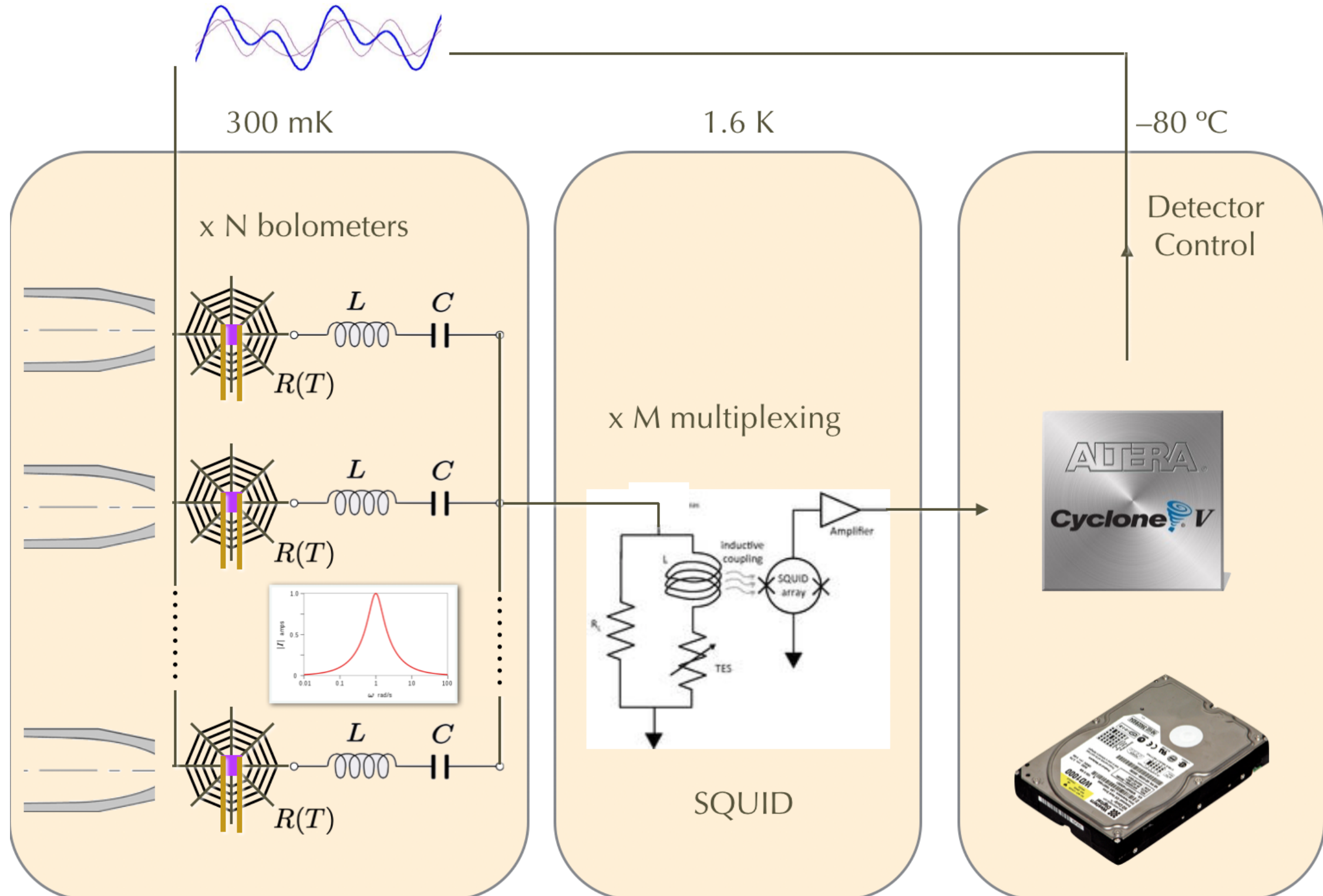


$$\frac{10 \Omega}{1 \text{ mK}} = 10^4 \Omega/\text{K}$$

$$100 \text{ nK} \Rightarrow 1 \text{ m}\Omega$$

Multiplexed readout

- Tiny **cooling power** requires reading **multiple sensors** with a single pair of wires
- Each detector is coupled to a **superconducting resonant circuit**
 - Frequency-domain multiplexing (**FDM**) \Rightarrow sum of sinusoids



LiteBIRD description

Siti di misura

Terra



2020

Pallone

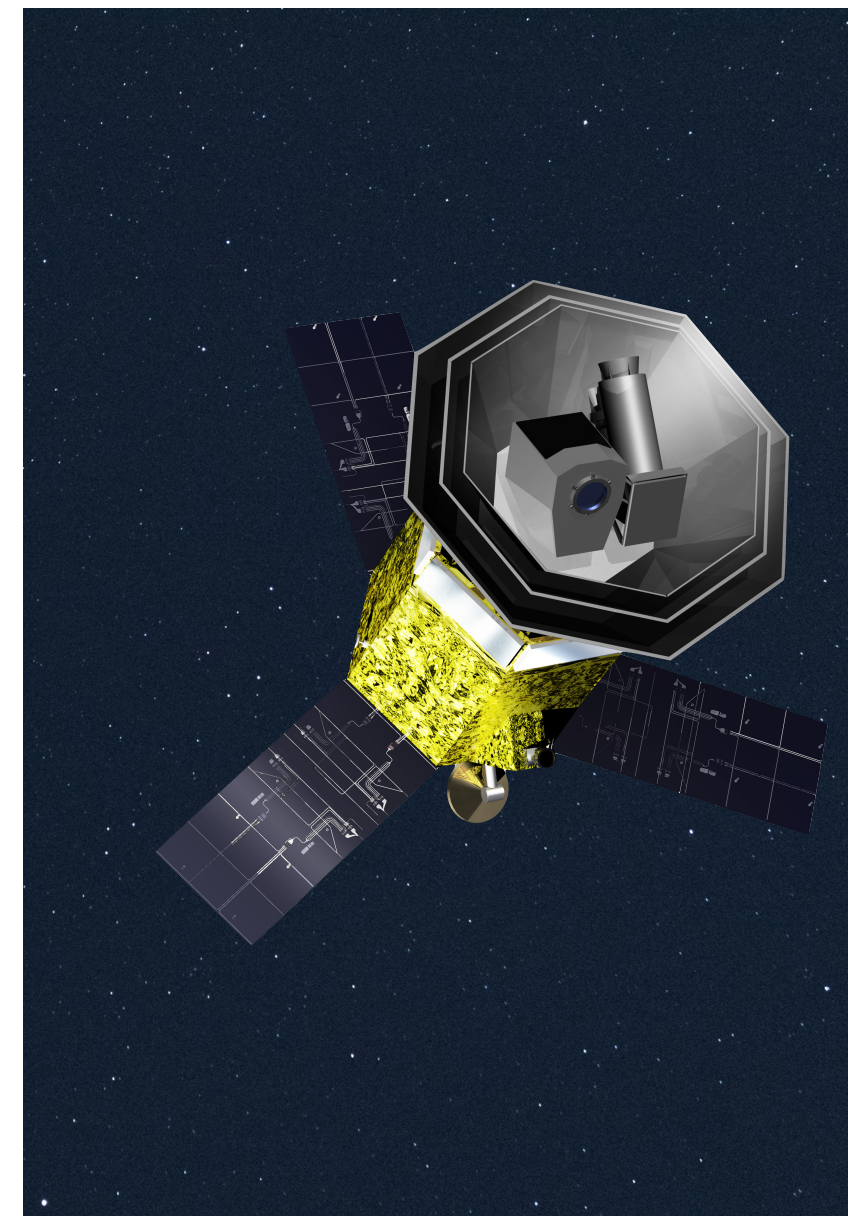


2020

LSPE/Swipe



Spazio



2028

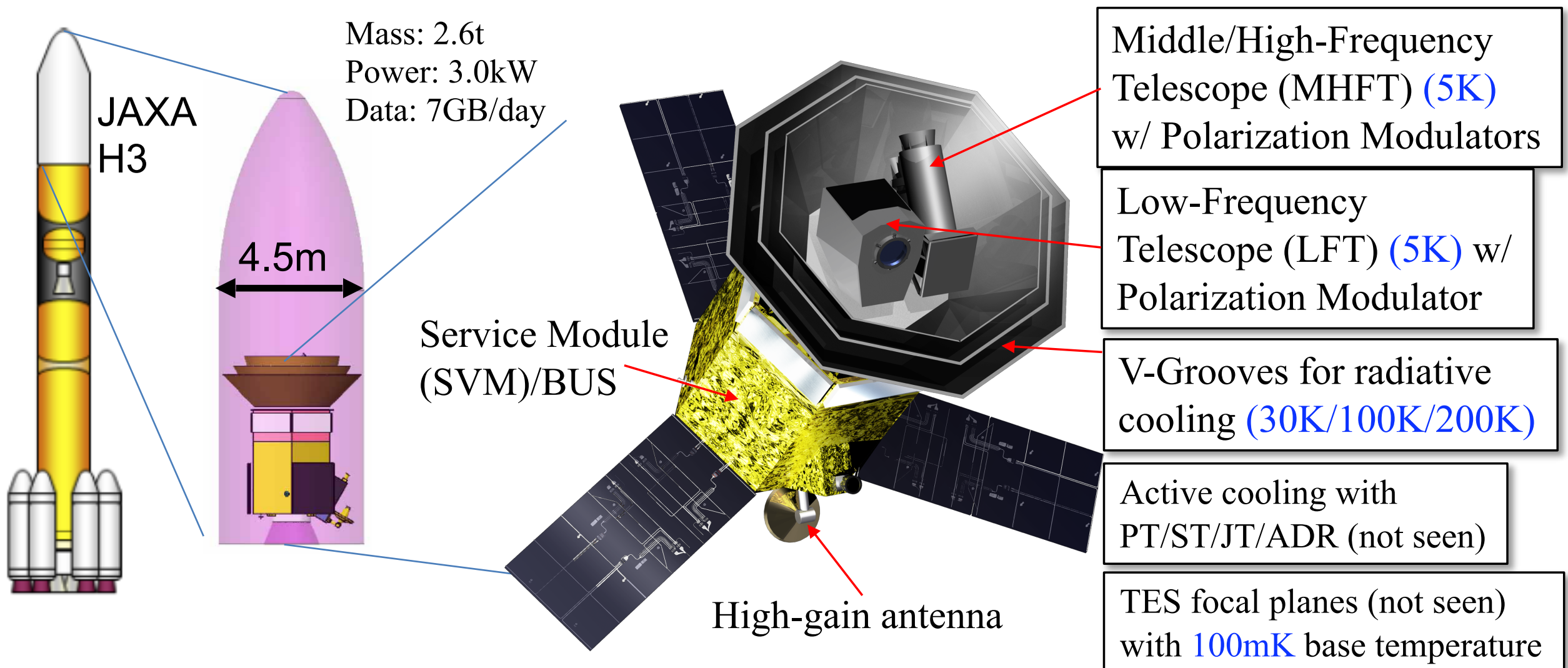
LiteBIRD



- Misura della mappa di polarizzazione nel futuro prossimo

LiteBIRD Overview

- Light satellite for B-modes from Inflation CMB Radiation Observation
- Just selected (May 2019) as the next JAXA's L-class mission
- Expected launch in 2028 with JAXA H3 rocket
 - LiteBIRD is the only CMB space mission that can be realized in 2020s
- Observations for 3 years (baseline) around Sun-Earth Lagrangian point L2
- Millimeter-wave all sky surveys (34–448 GHz, 15 bands) at 70–20 arcmin
- Mission δr (total uncertainty) < 0.001 (for $r=0$) with CMB B-mode observation



LiteBIRD mission instrument

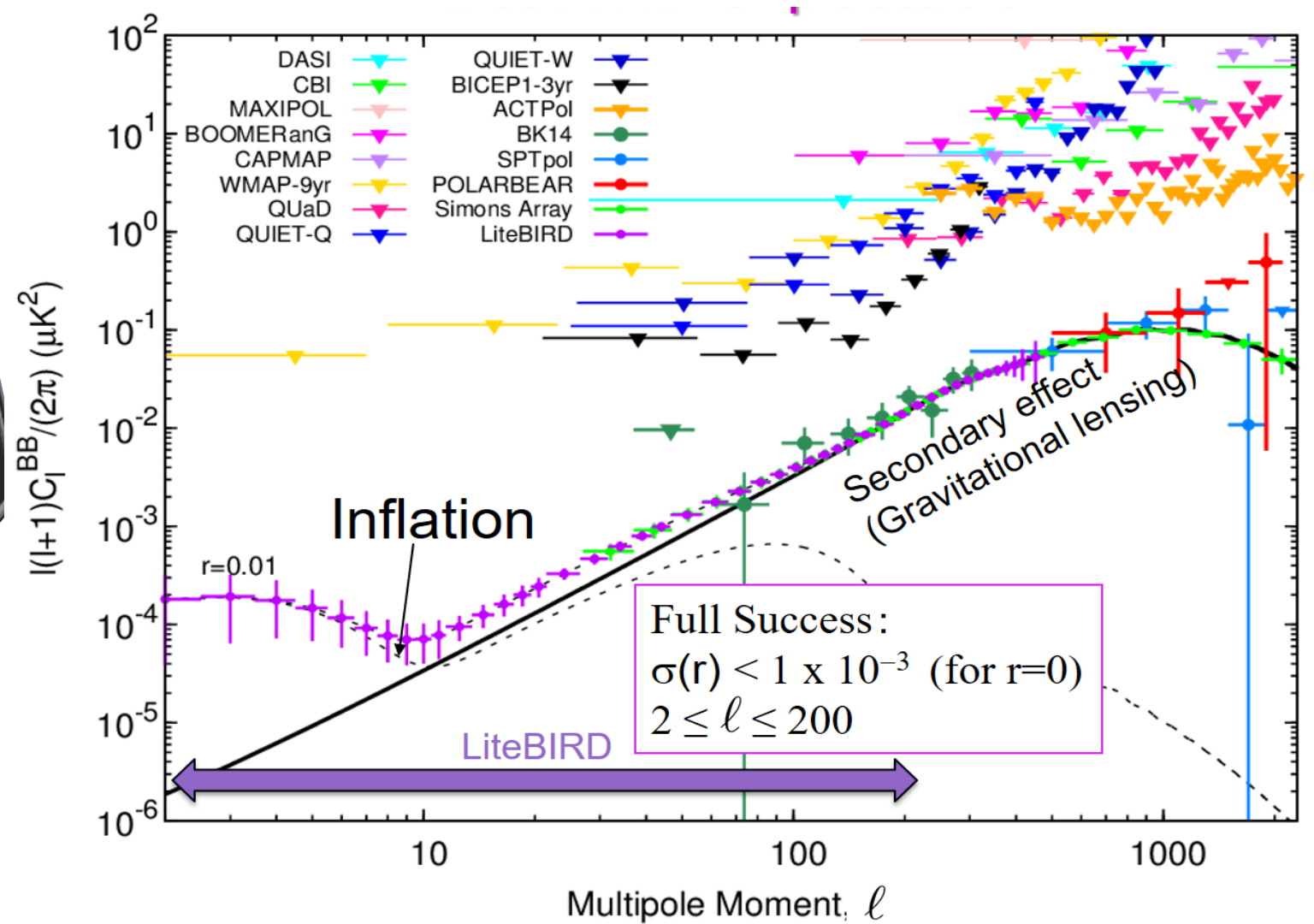
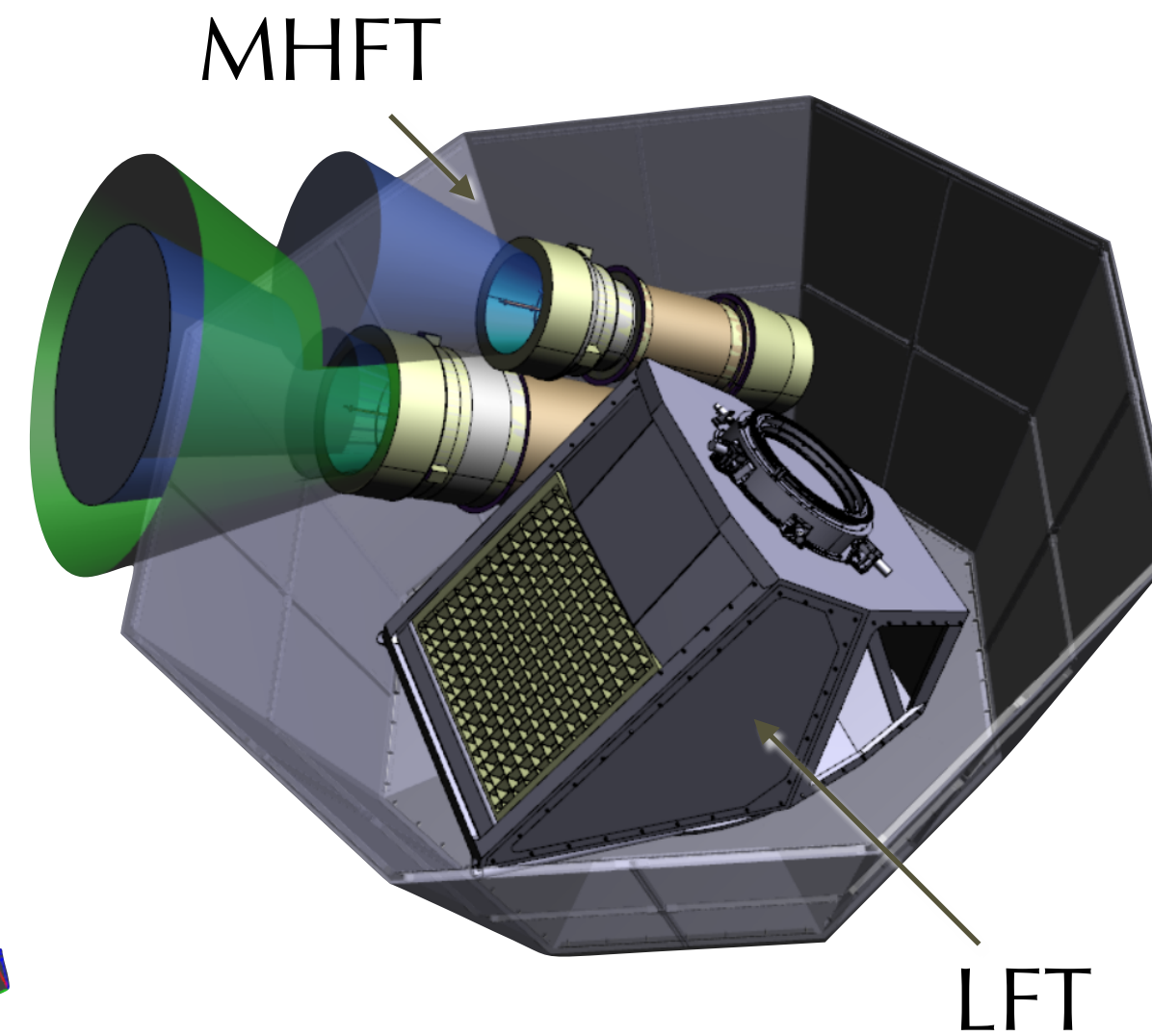
- Three features
 - Three telescopes w/ TES arrays (4732 detectors)
 - Polarization modulator for 1/f noise reduction
 - Cryogenic system for 0.1K base temperature

Full Success:

$$\delta r < 1 \times 10^{-3} \text{ (for } r=0\text{)}$$

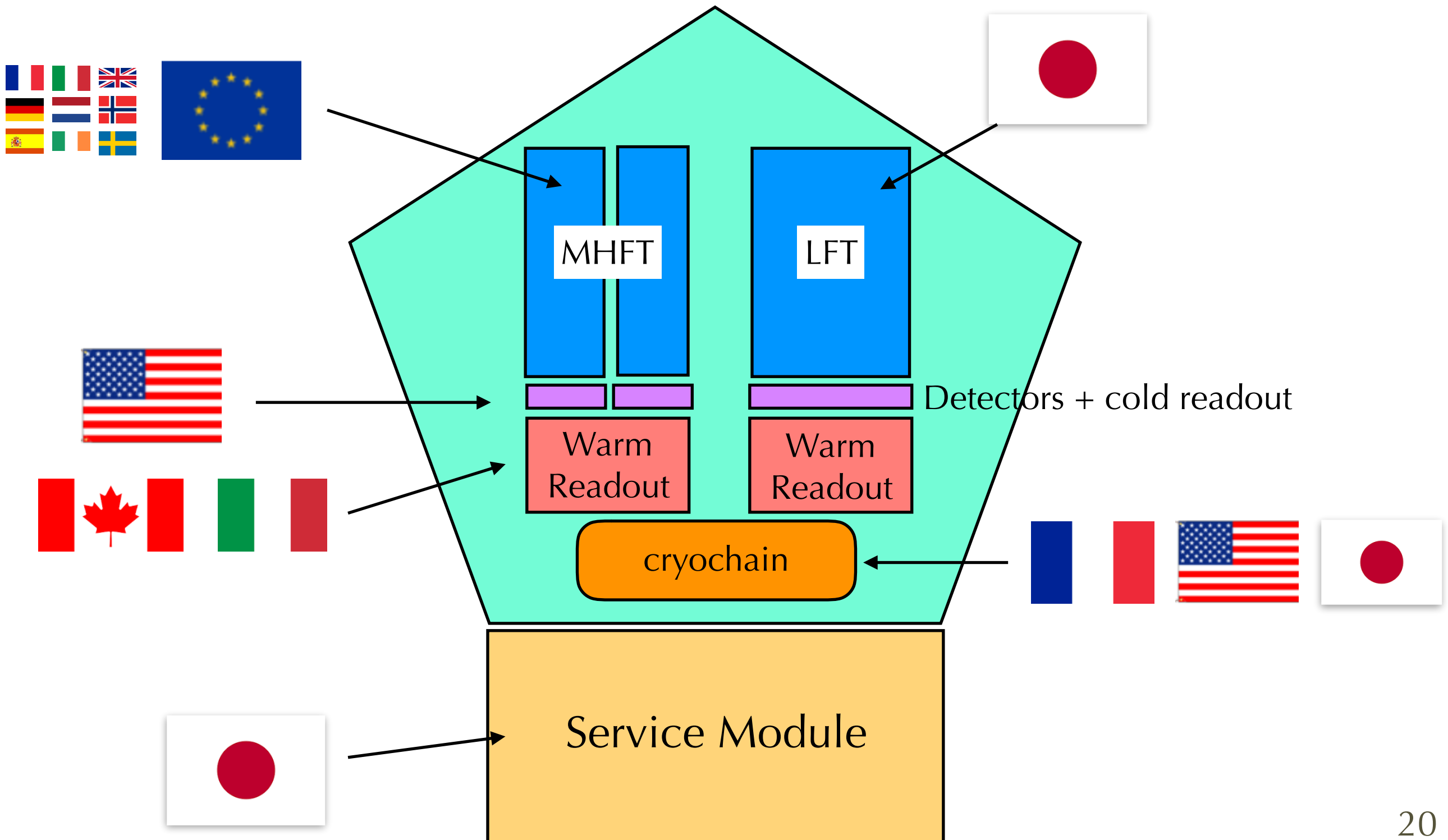
$$2 \leq \ell \leq 200$$

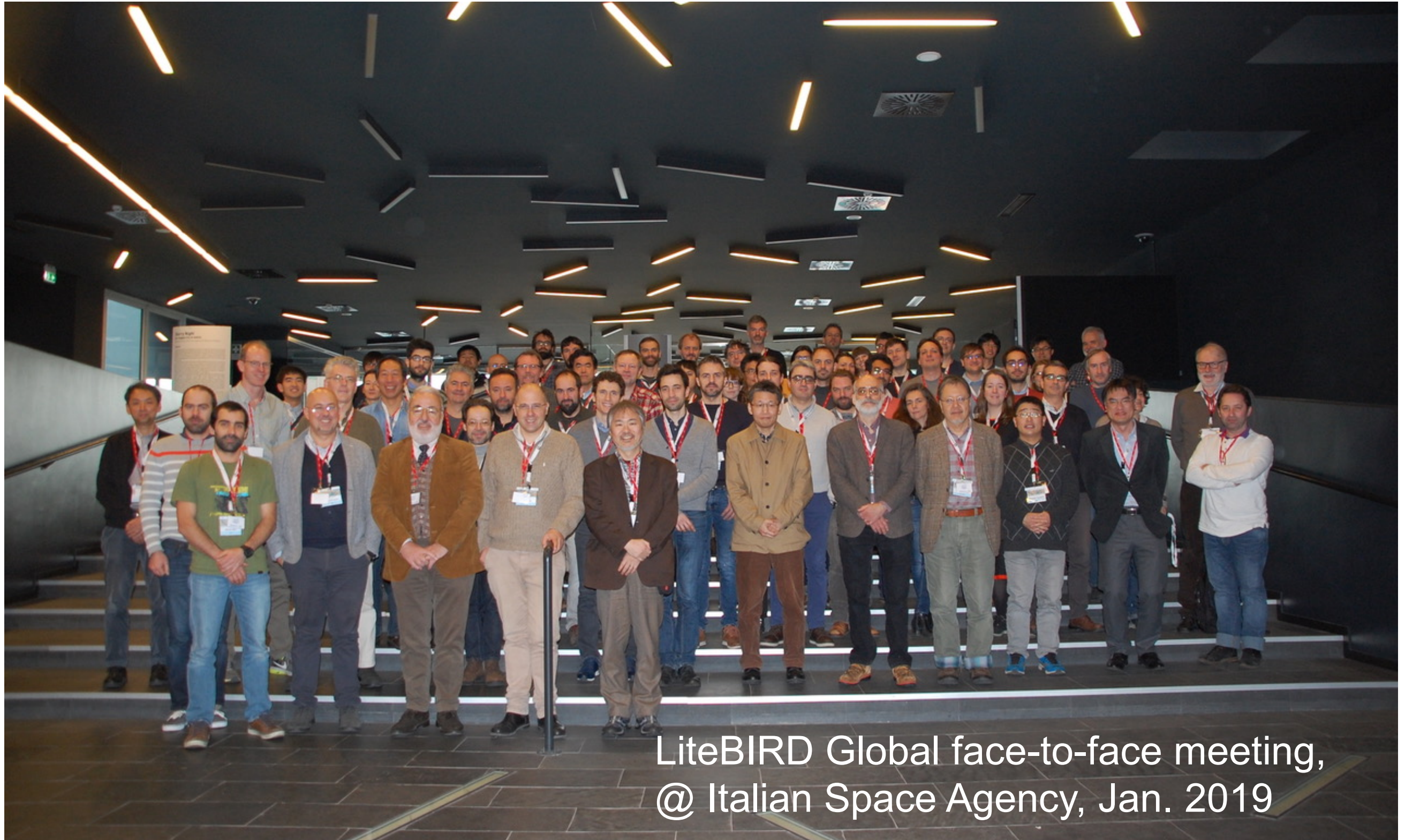
x70 sensitivity
w.r.t. present limit



Task division

- JAXA led with strong U.S. (NASA), Canadian (CSA) and EU participation
- About 180 researchers, still growing, with CMB, x-ray, HEP, background
 - PI M.Hazumi (KEK &al), US PI A.Lee, Can PI M.Dobbs, EU PI L. Montier

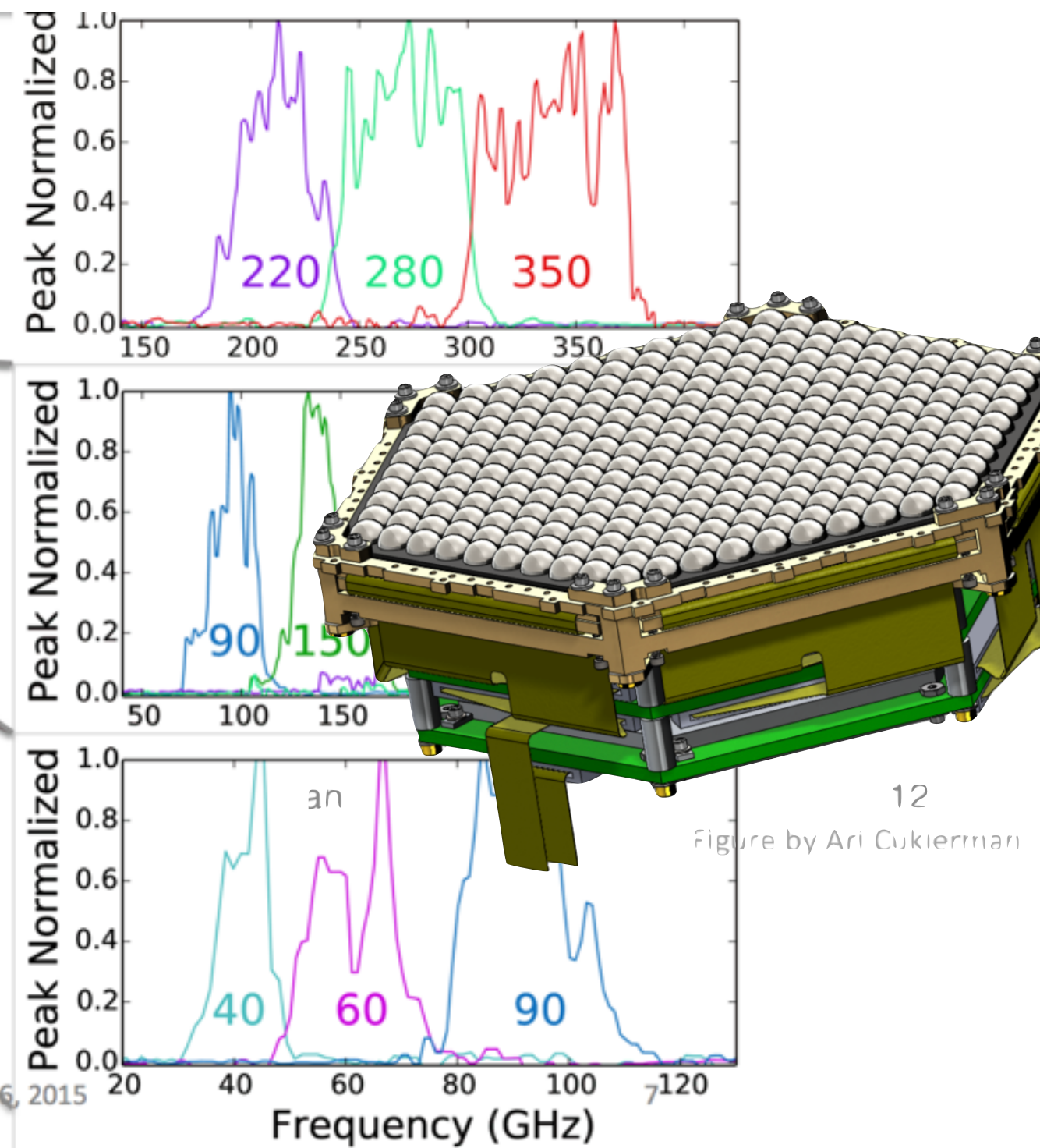
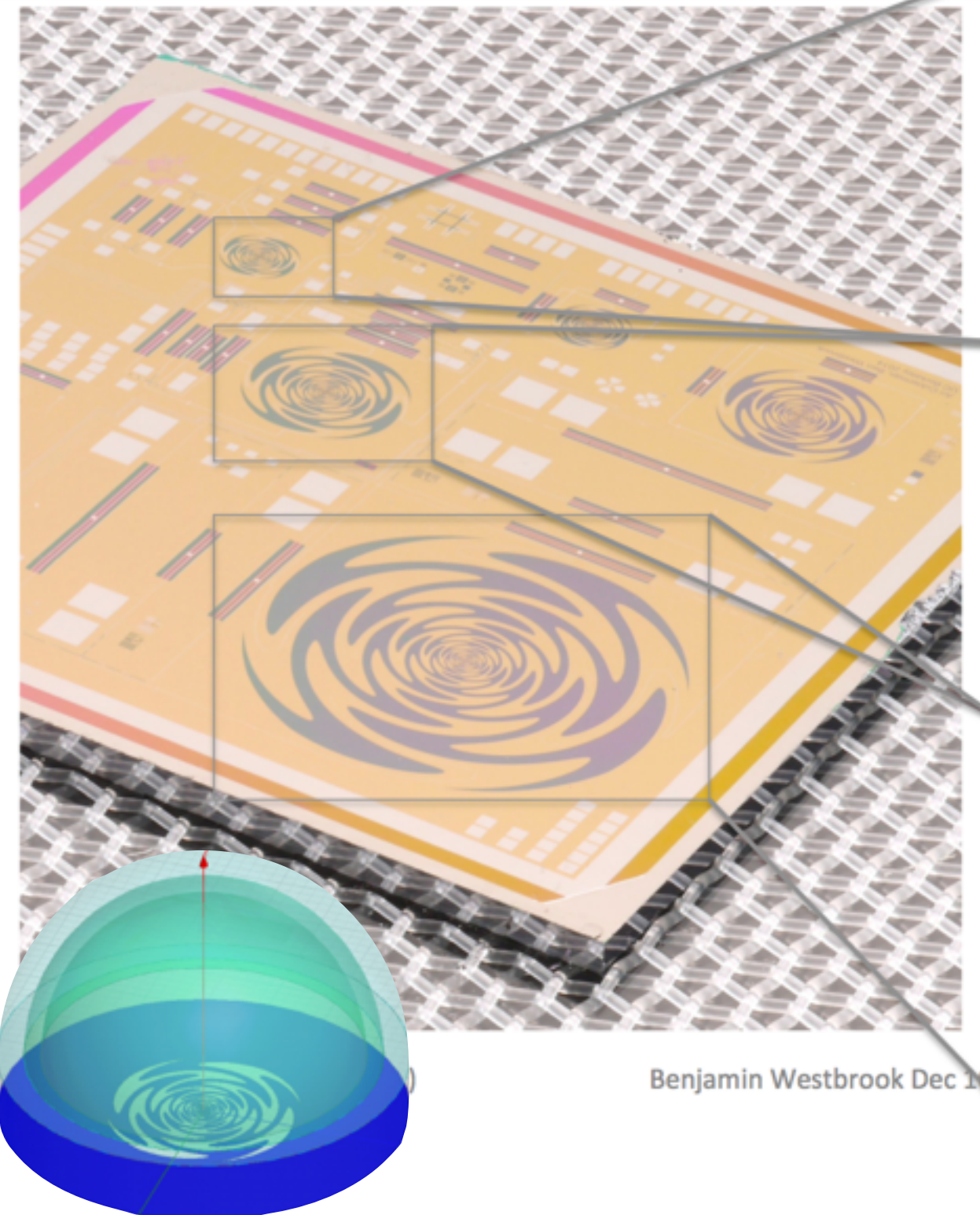




LiteBIRD Global face-to-face meeting,
@ Italian Space Agency, Jan. 2019

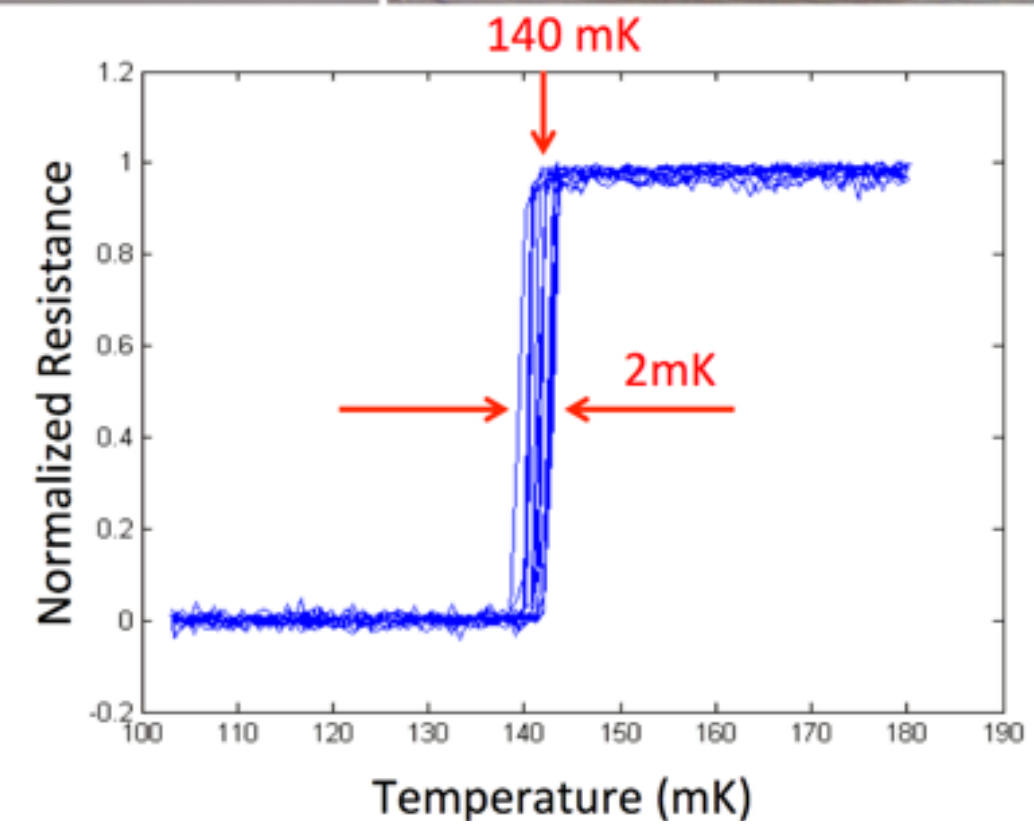
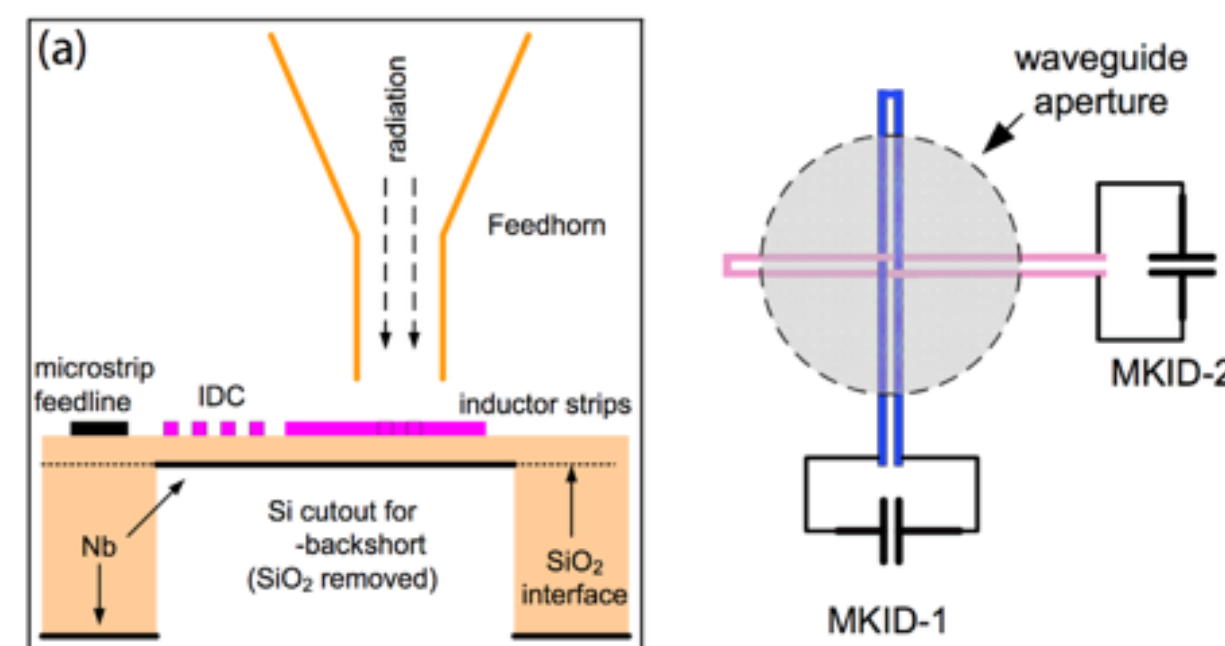
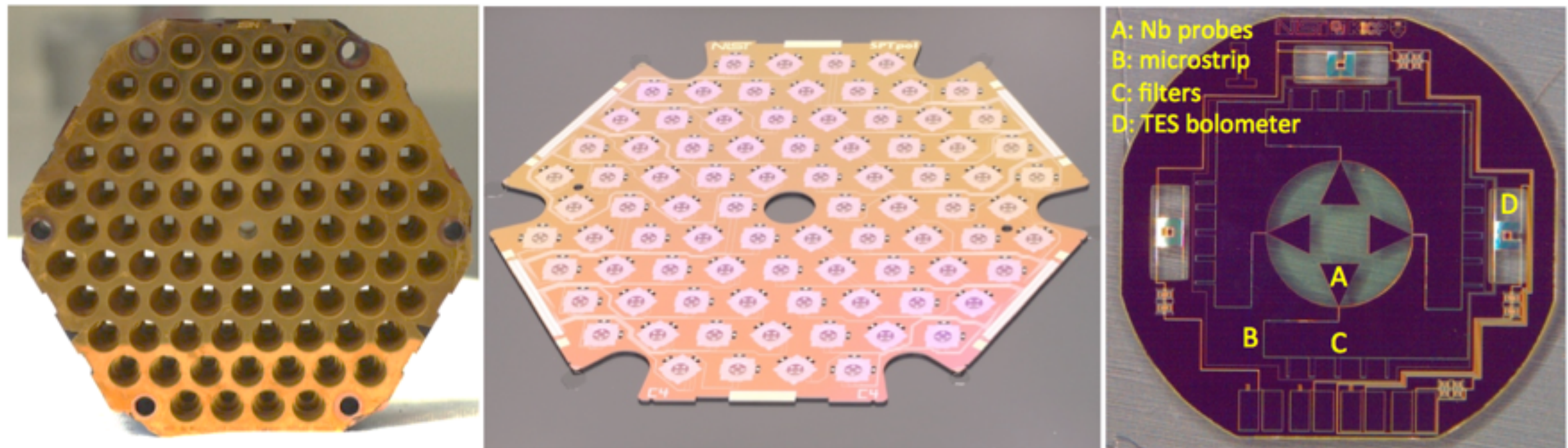
Low and mid-frequency arrays

- lenslet-coupled “trichroic pixel” = broadband sinuous antenna + filters + TES



High frequency array

- Antenne ortomodo litografate sensibili alla polarizzazione lette da TES (AlMn) oppure KIDs, accoppiati con feed-horn
 - cfr. Premiale ASI/INFN

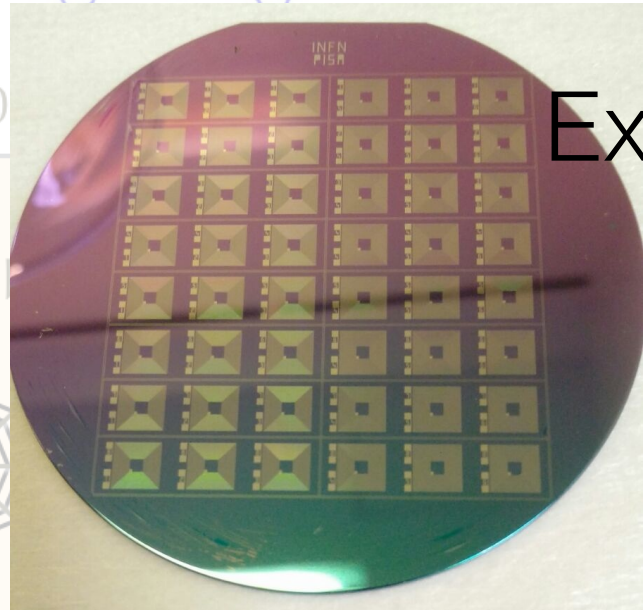
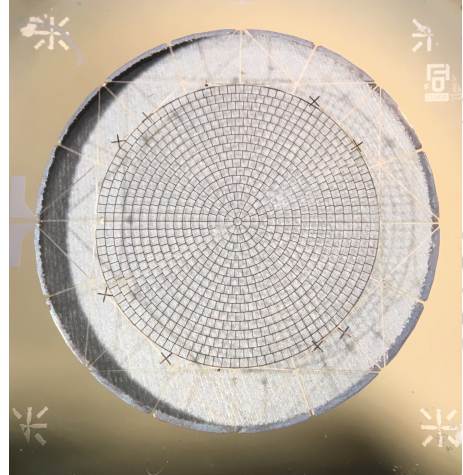


Multiplexed readout

- Tiny **cooling power** requires reading **multiple sensors** with a single pair of wires
- Each detector is coupled to a **superconducting resonant circuit**
 - Frequency-domain multiplexing (**FDM**) \Rightarrow sum of sinusoids

Nb LC developed at INFN/Pi SNS

INFN-GE

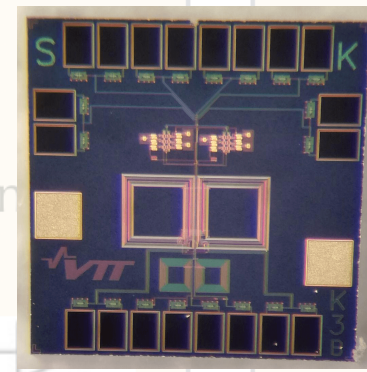


Example from LSPE

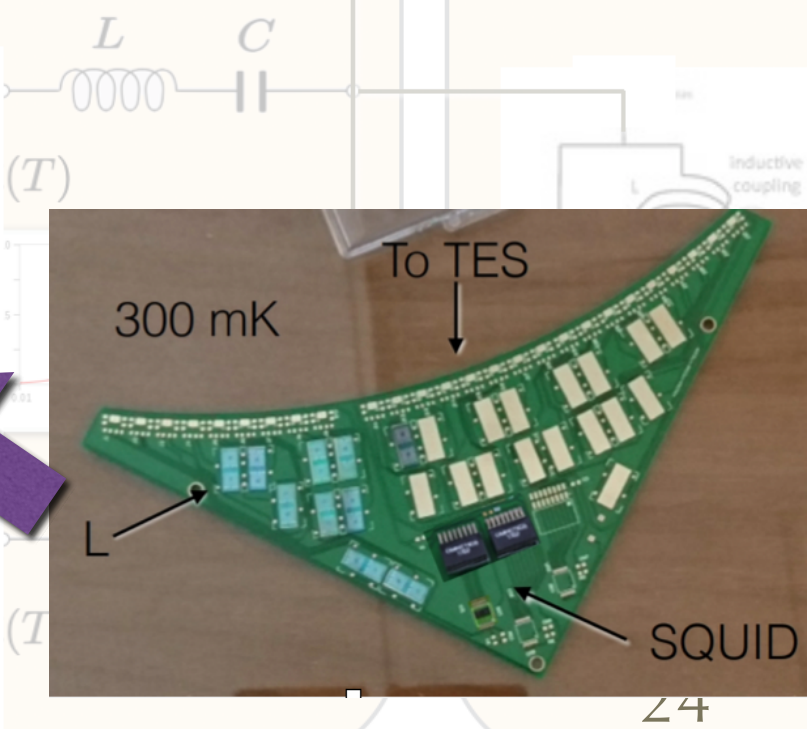
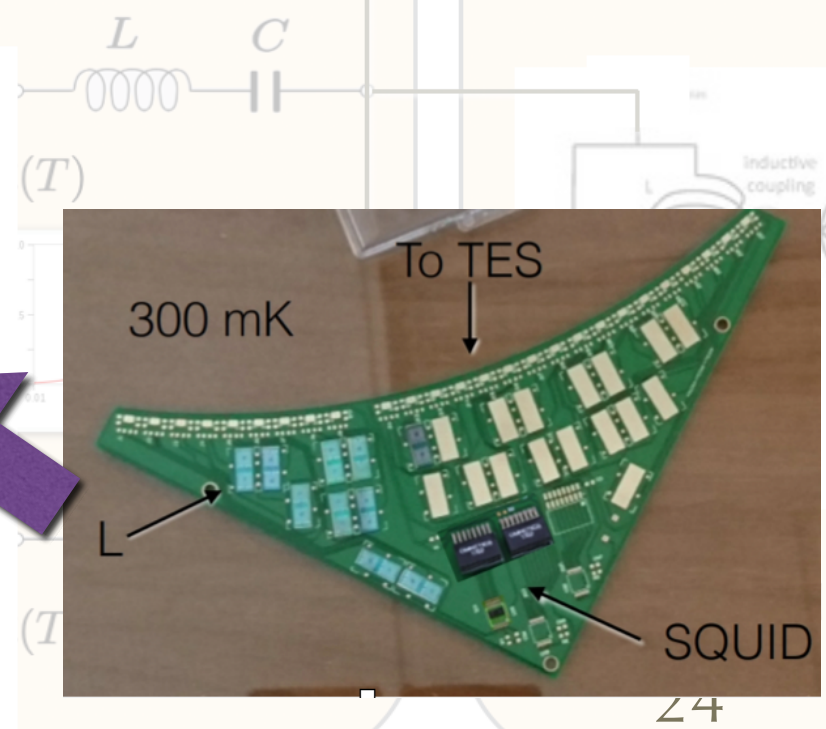
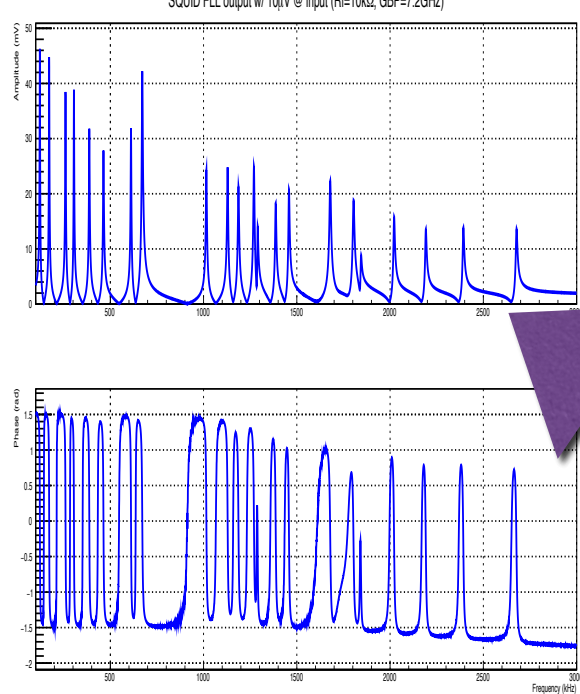
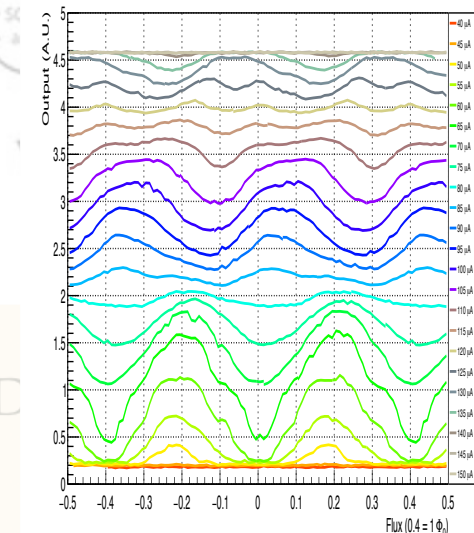
WR board INFN/PI



6SSA SQUID from VTT

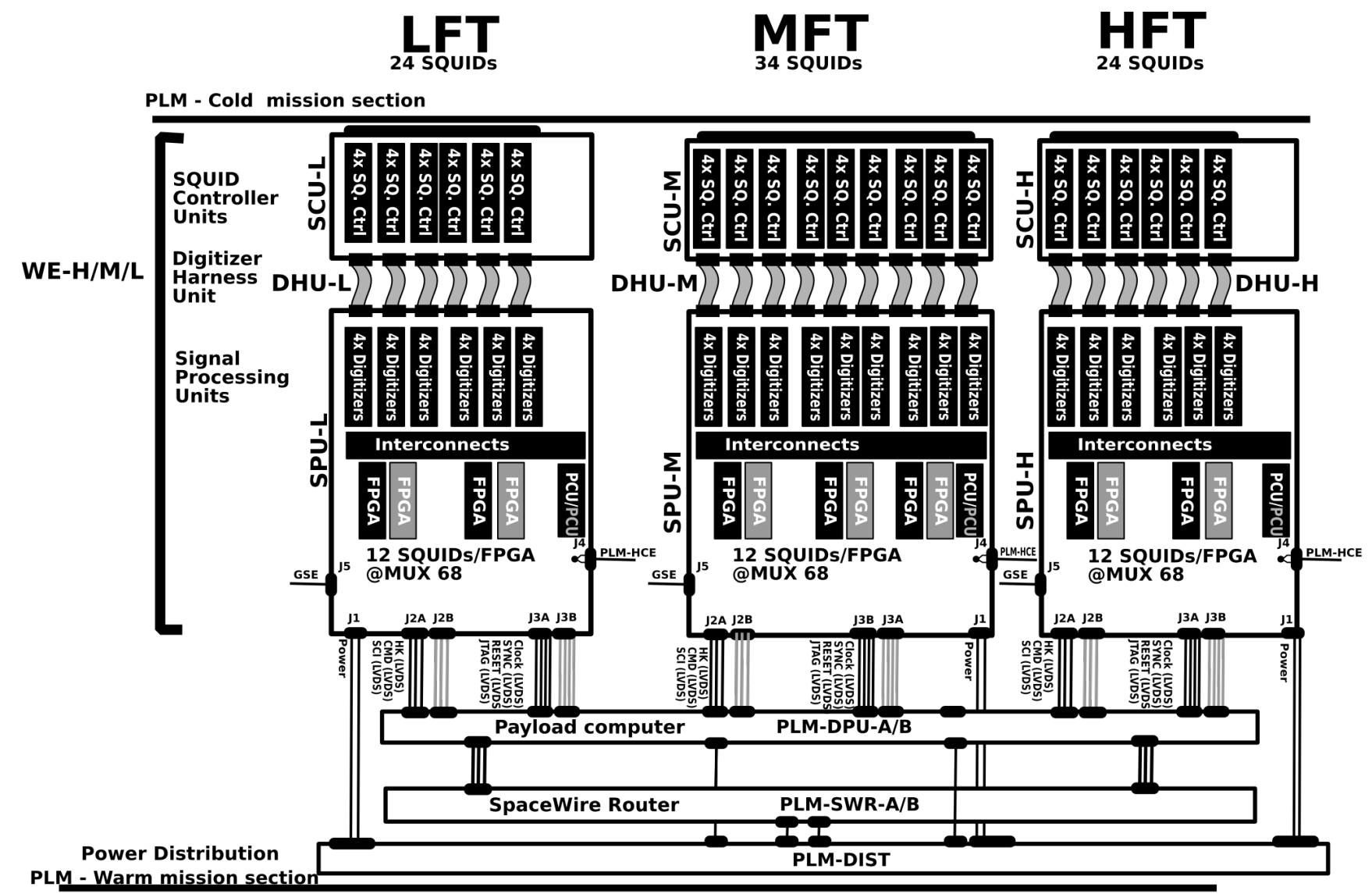
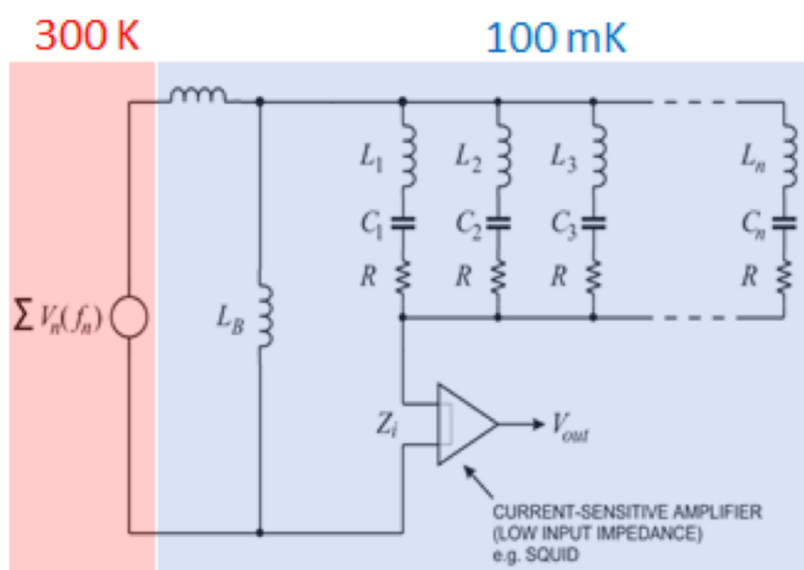
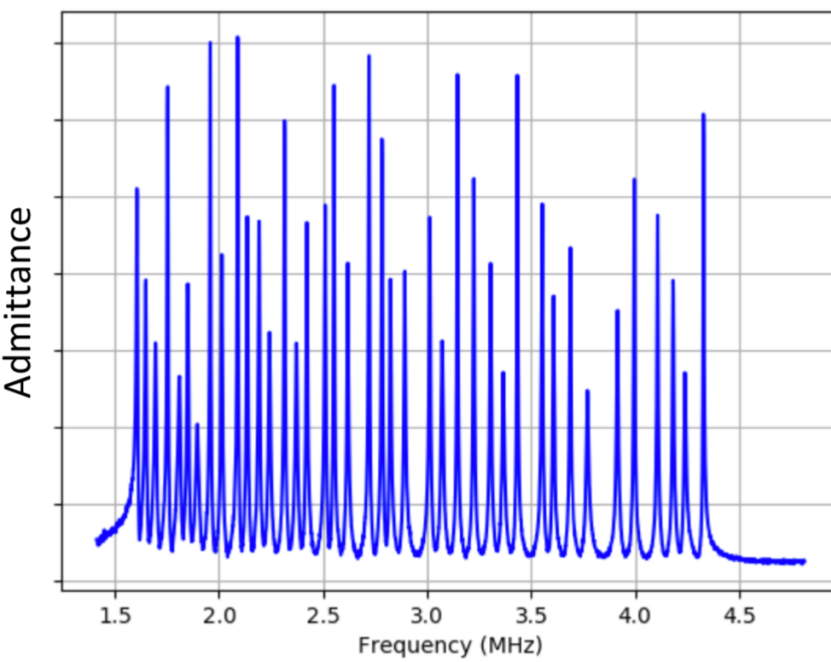
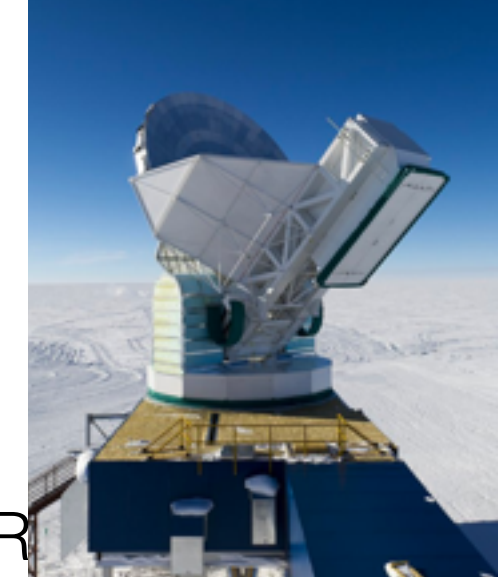


SQUID VTT #43 V- Φ characteristics



DfMUX readout

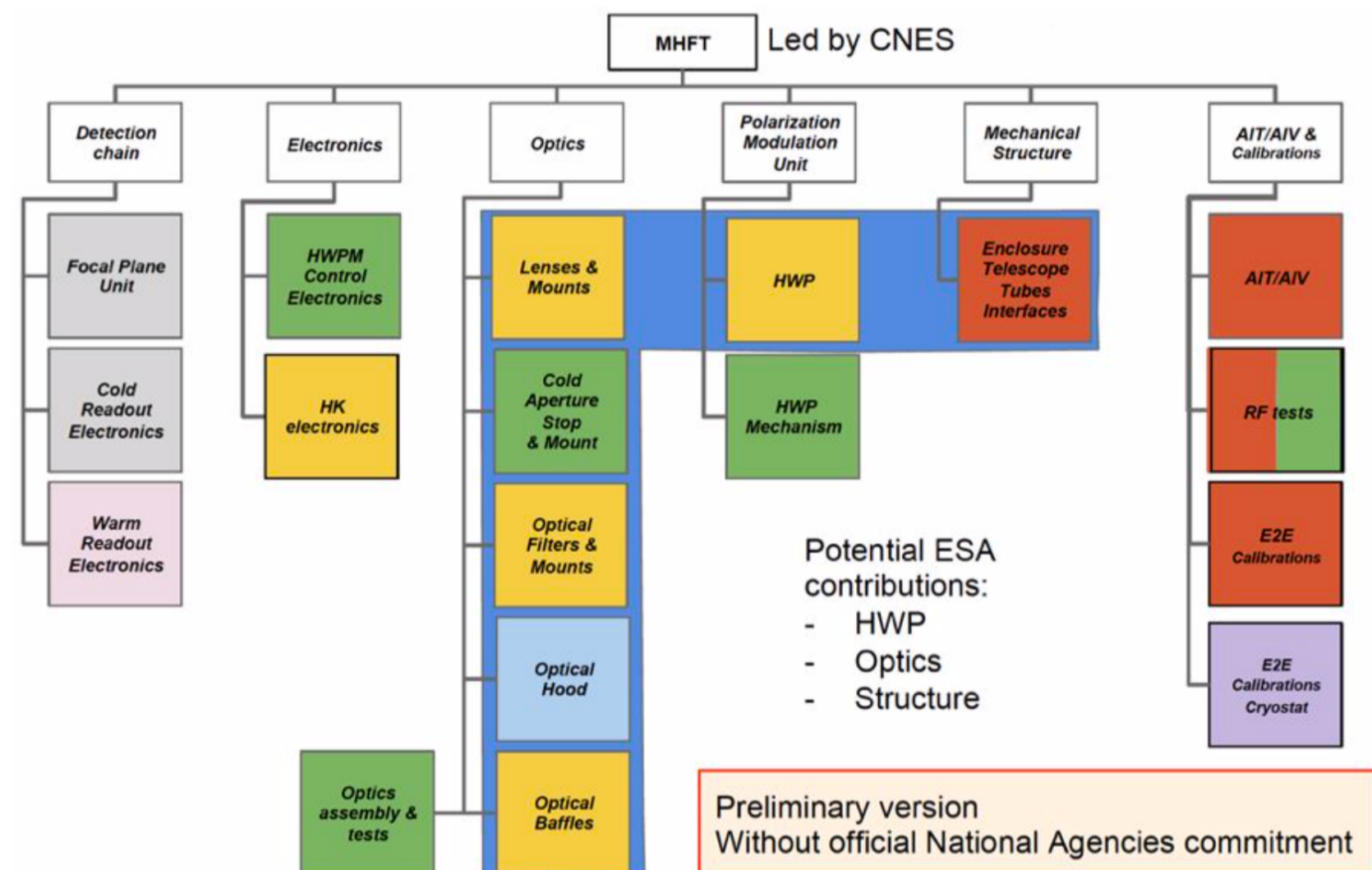
- Frequency Multiplexed Readout (FDM, same as LSPE)
 - USA: Cold components (LC boards + SQUID)
 - Canada (+INFN): warm electronics
- Based on system deployed for South Pole Telescope and POLARBEAR





Il consorzio Europeo

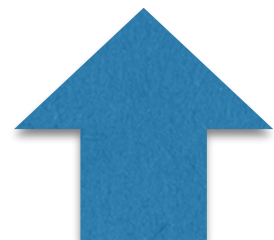
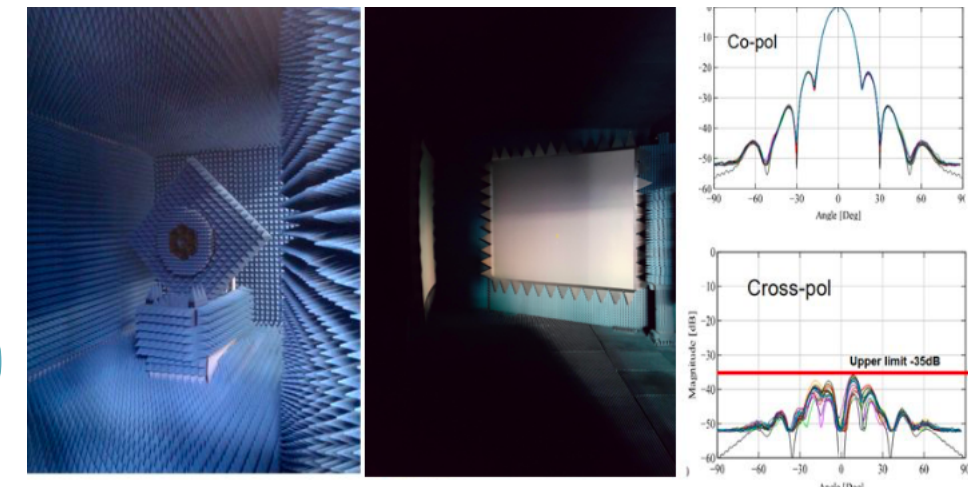
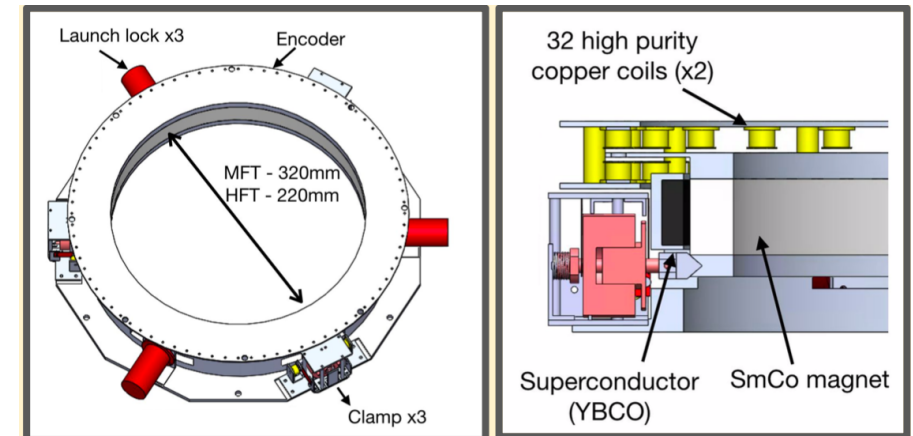
- The European collaboration consists of 9 partners:
 - France, Italy, United Kingdom, Germany, Spain, Sweden, Norway, Ireland, the Netherlands, with a total of more than 100 members.
- Since 2018, we have settled a European Steering Committee composed of the representatives of all partners, and reinforced by a system engineer and an engineering team.
 - Italy has two members: Nicola Vittorio (RM2) e Paolo de Bernardis (RM1) ⇒ Paolo Natoli (FE) e Francesco Piacentini (RM1) from Jul/2019





Il contributo (HW) italiano

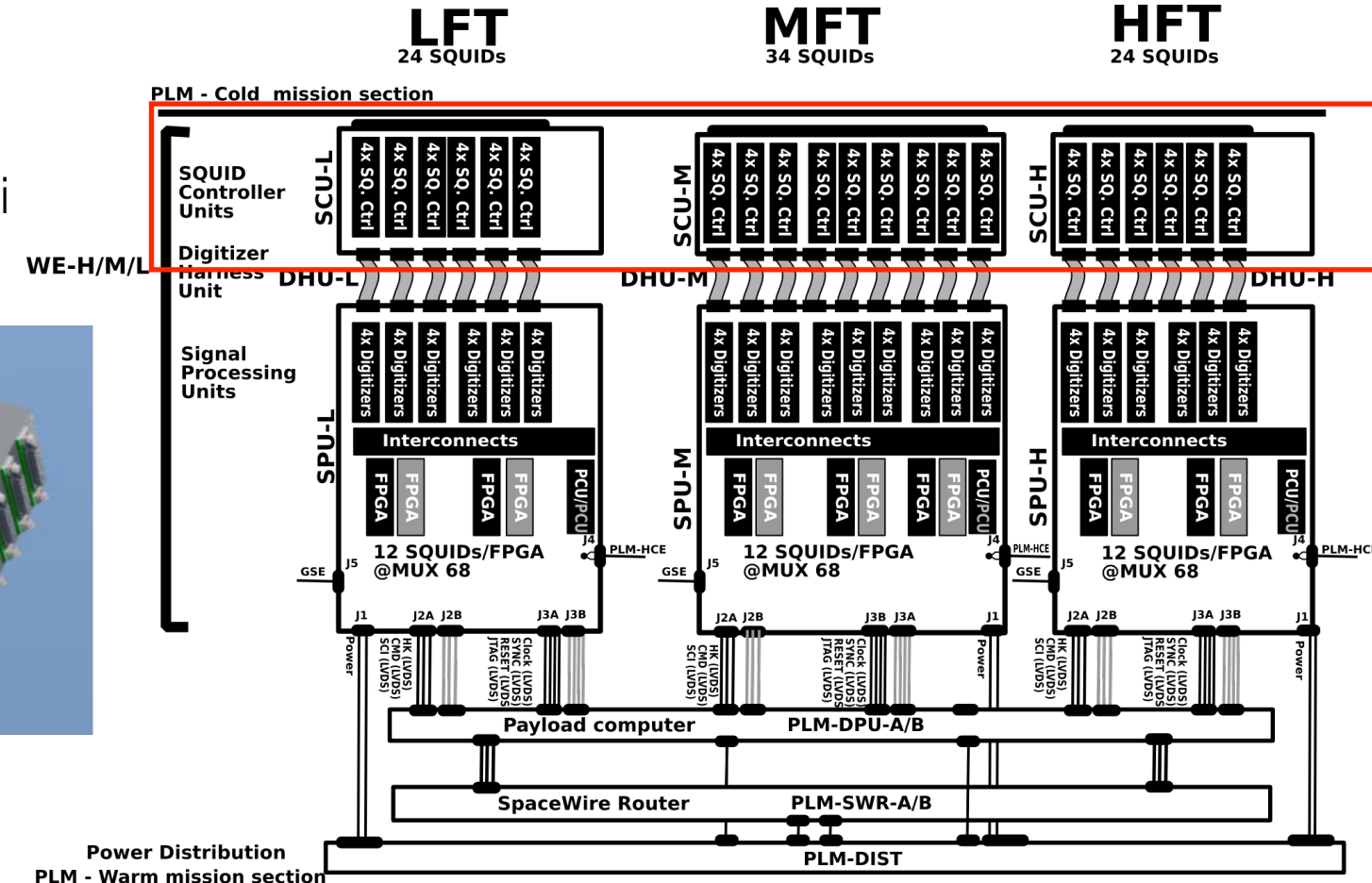
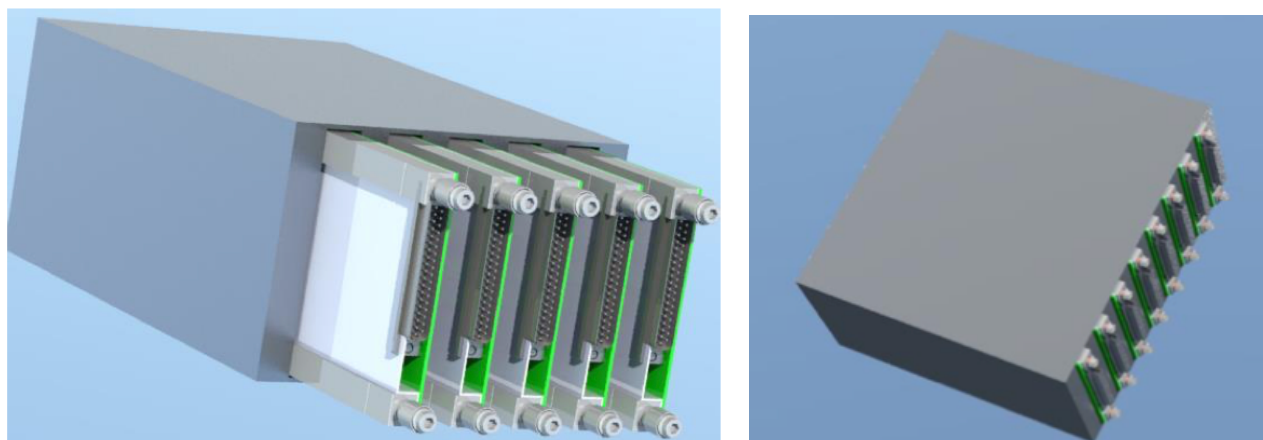
- L'Italia è membro del consorzio europeo che è in carico di fornire il telescopio di media e alta frequenza MHFT
- Finanziamento addendum ASI/COSMOS per lo studio di fattibilità ha chiaramente identificato i seguenti items di hardware, in linea con la tradizione della cosmologia sperimentale/osservativa in italia, sull'eredità di Planck
 - Rotatore di Polarizzazione per MHFT
 - HWP rotante a levitazione proposto da Roma
 - Componenti dell'ottica di MHFT
 - Calibrazioni
 - Basata sull'esperienza della sezione di Milano nella calibrazione di Planck per la Telescope Subsystem Calibration
 - Elettronica di controllo e readout.
 - Digital Processing Unit (in collaborazione con TAS-I)
 - Detector readout: SQUID Control Unit



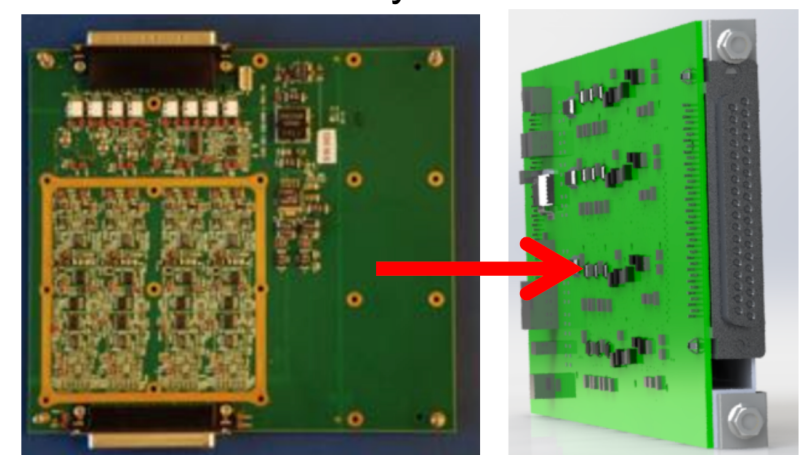
Il contributo INFN



- Il contributo INFN si inquadra nel contesto dell'**elettronica di readout** (Warm Readout electronics) :
 - Fornire le **SQUID control units** (per i tre telescopi LFT + MHFT)
 - schede elettroniche
 - meccanica di supporto
 - interfacce termiche
 - Flight **qualification** di componenti selezionati
 - qualificare per lo spazio il DAC LT1668



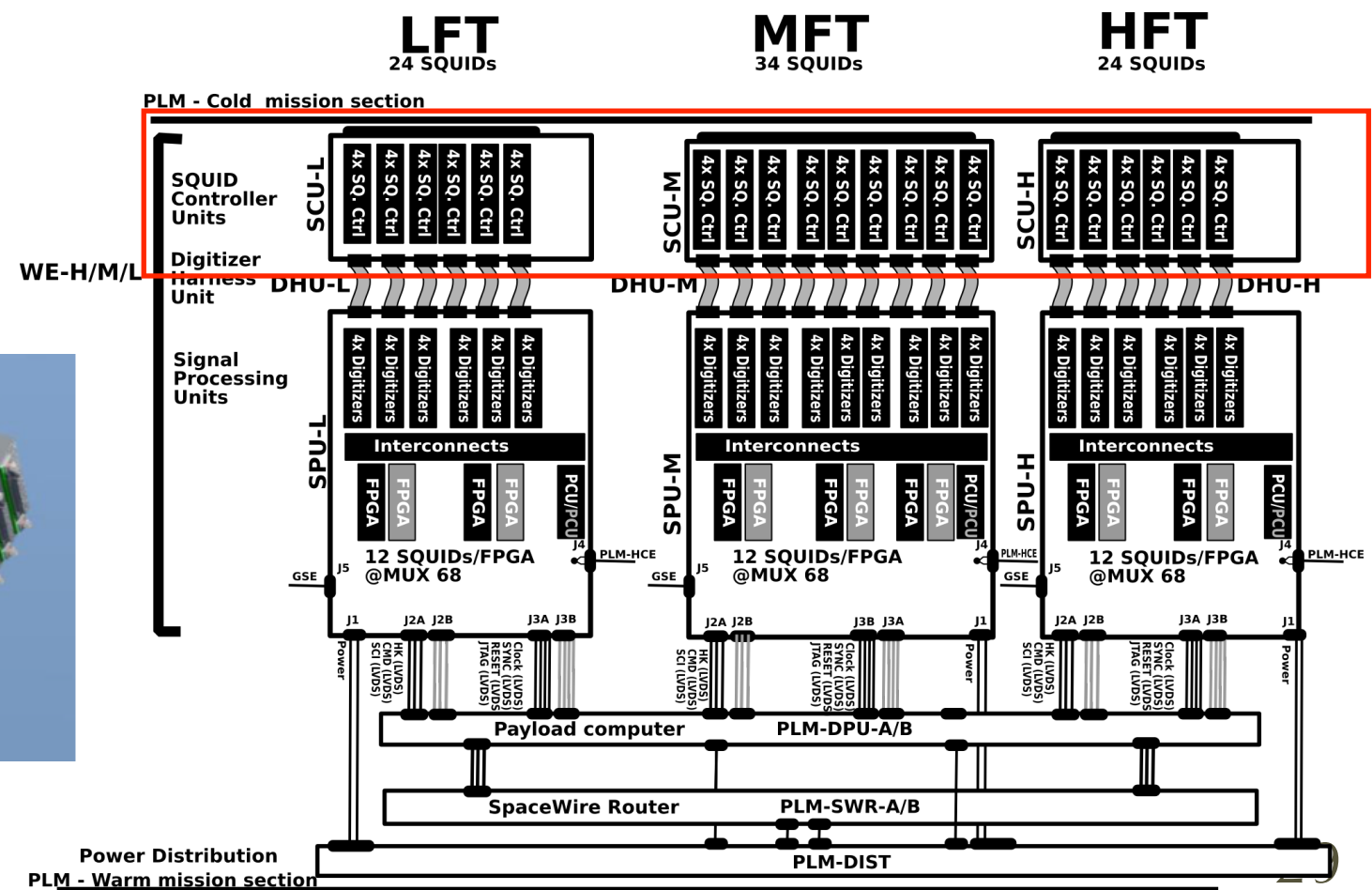
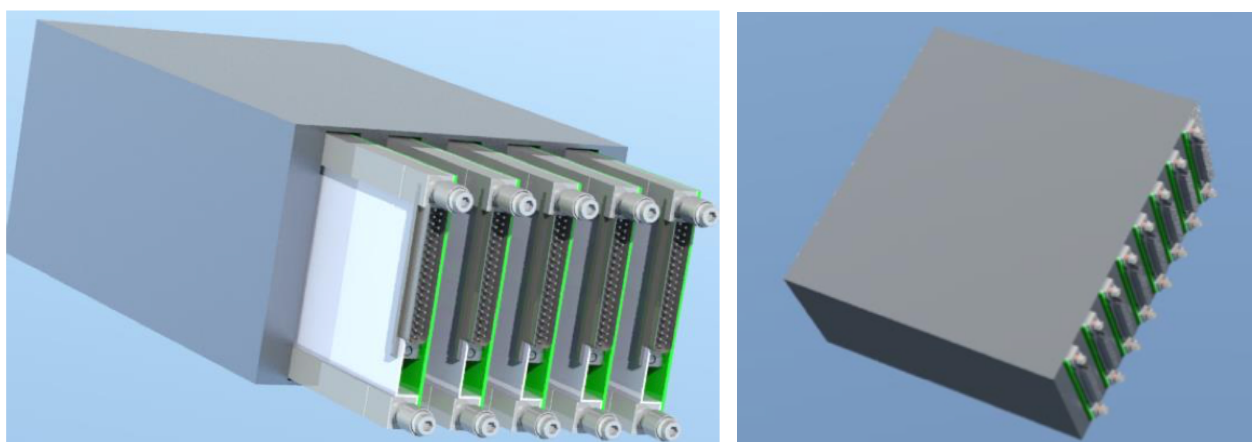
- Ulteriori contributi HW possibili
 - (**digital assembly DAC/ADC boards**)
 - DPU – in collaborazione con ASI
- In seconda battuta
 - studio della **risposta dei detector ai cosmici** (CR and/or beam tests)
 - In previsione dell'**analisi dati**
 - simulation
 - map making
 - CMB parameters extraction



SQUID readout units



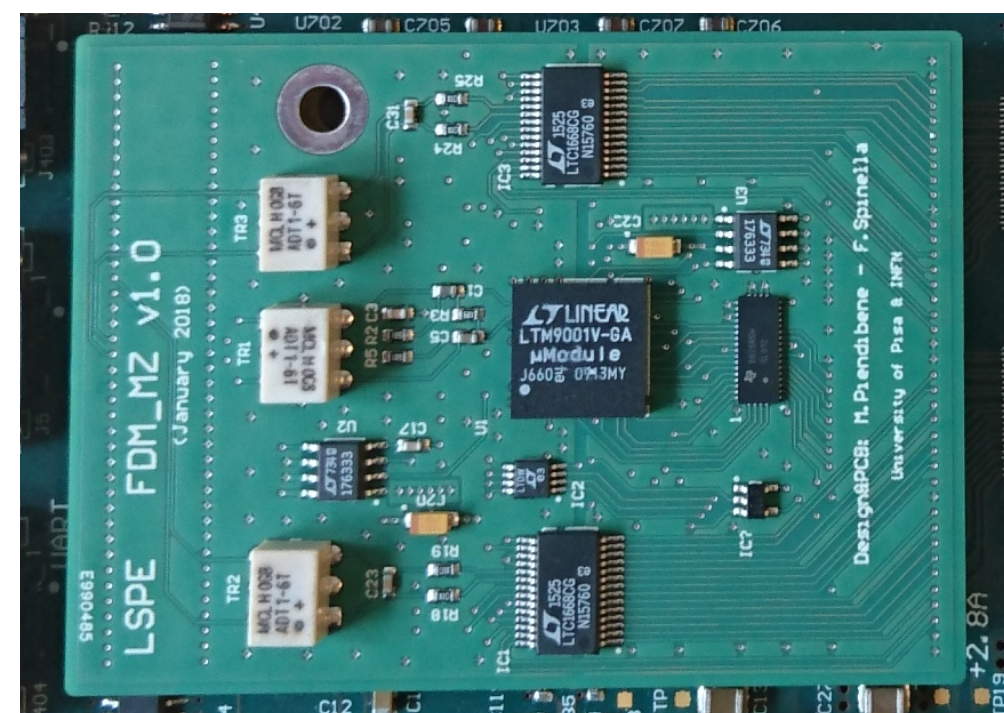
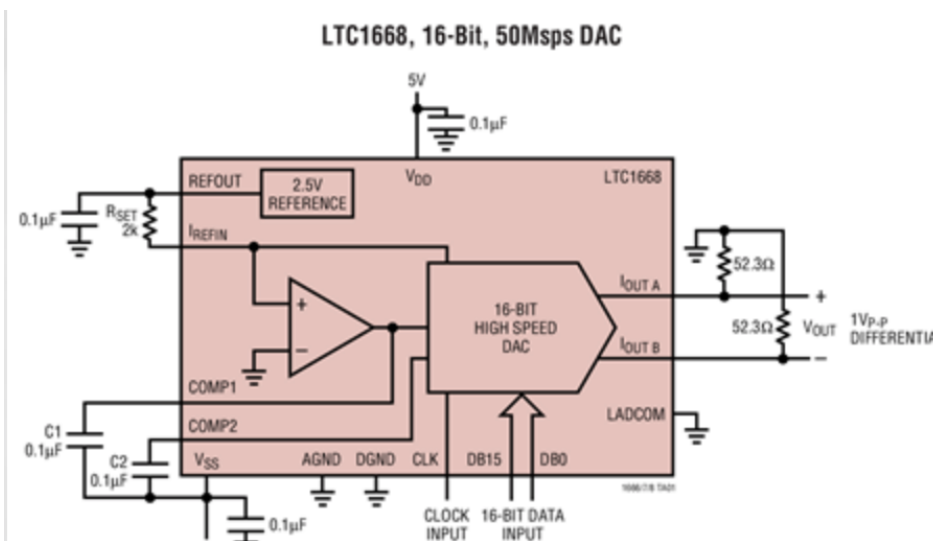
- Ci sono **4732 detectors** (multichroic TES) divisi su **3 piani focali**
 - LFT, MFT e HFT ognuno con una Signal Processing Unit (SPU)
- Una **Squid Control Unit** (SCU) per ogni SPU
 - LFT (**24 SQUIDS**), MFT (**34 SQUIDS**), HFT (**24 SQUIDS**)
- Fino ad 9 Squid Control Assembly (le boards) per ogni SCU
 - Le **Squid Control Boards** forniscono l'interfaccia fondamentale fra i rivelatori e il readout (4 SQUID/each)
- Partendo dall'attuale versione per SPT, le unità vanno
 - ridisegnate
 - testate a caldo
 - testate a freddo (SQUID @100mK)
 - Prodotti i DM, EQM e FM
 - Documentati



Flight qualification



- The Digitizer Assembly (DA) uses the **AD768 DAC** to generate the carrier and noller signals. It was selected due to its low 1/f noise and its availability as a space qualified component.
 - However, this DAC is **power hungry**, and accounts for a non-negligible part of the WE power budget.
 - An alternate DAC, the **LT1668**, offers the same performance with at least half of the power consumption, but is not space qualified.
- LT1668 presently being **used in LSPE** warm readout
 - test fino a **30 krad** con particelle ionizzanti
 - acceptable system performance
 - 1/f noise & white noise
 - Linearity & monotonicity
 - Power consumption
 - Radiation behavior (transients, latch-ups etc.)

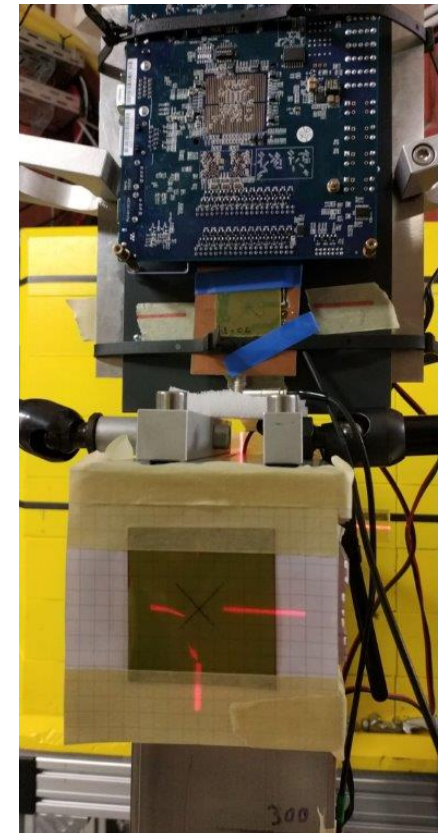
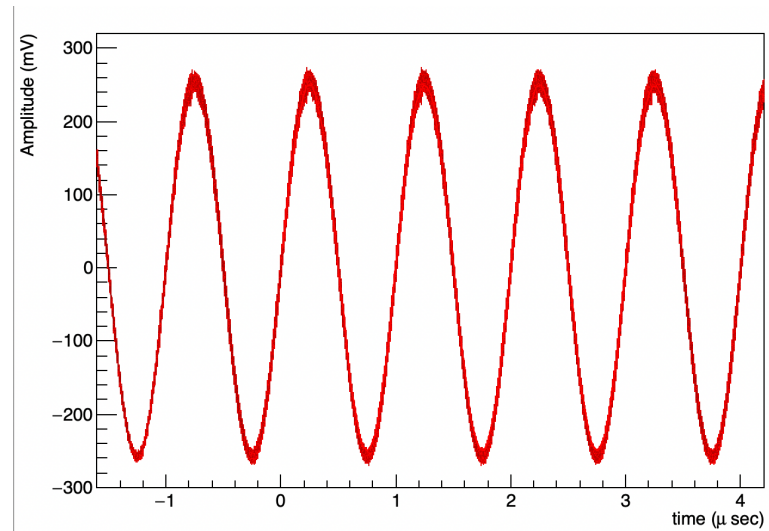


Le Sezioni INFN Partecipanti

- Molti gruppi in Italia già impegnati con finanziamento ASI
- Vogliamo esplicitare un coinvolgimento di pochi gruppi INFN impegnati sull'hardware, in particolare sul Warm Readout
 - Divisione "fluida"
 - possibilità di incrementare il contributo con altri items
 - ci aspettiamo nel corso dei prossimi anni di incrementare il contributo dal punto di vista della simulazione e dell'analisi
- Pisa (G. Signorelli, Resp. Nazionale)
 - Coordinazione del contributo INFN
 - Space qualification dei componenti - misure e analisi
 - SQUID control unit (electronic development, mechanical, thermal)
- Milano Bicocca (M. Zannoni)
 - SQUID control unit (electronic development)
 - simulazione del danno da radiazione
- Ferrara (P. Natoli)
 - SQUID control unit and readout simulation
 - Impatto del noise sulle performance dell'esperimento.
- Roma 1 (L. Lamagna)
 - Partecipazione ai test

Attività prevista per il 2020

- Qualifica del DAC LT1668
 - Realizzazione di prototype-boards
 - Simulazione del danno da radiazione
 - Test su fascio (PSI - Legnaro - Dresden - Calliope)
 - Preparazione del report di compatibilità
 - Attività da cominciare il prima possibile, anticipabile al 2019
- Squid Control Units
 - Realizzazione di schede prototipo basate sull'attuale disegno
 - Semplificazione del disegno elettronico
 - Simulazione della catena di SQUID readout
 - Studio dell'interfaccia meccanica
 - Studio dell'interfaccia termica
 - Stima con partner industriale del framework temporale-economico
 - Preparazione delle test facility
 - warm
 - criogenica
- Simulazione dell'interazione detector-raggi cosmici
- Studio dell'impatto del rumore dei rivelatori e della catena elettronica sulle performance scientifiche dell'esperimento



Anagrafica Pisa LITEBIRD

RICERCATORI

Giovanni Signorelli	R.N. R.L.	0.60
Alessandro Baldini		0.20
Donato Nicolò		0.30
Luca Galli		0.10
Andrea Tartari (Art. 36 ASI/COSMOS)		0.50

TECNOLOGI / TECNICI

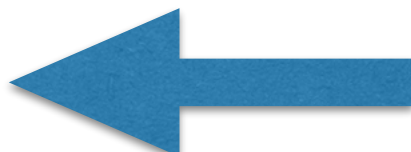
Franco Spinella (Tecnol. Elettronico)	0.10
Andrea Moggi (Progett. Meccanica)	0.10

ASSEGNISTI

Davide Vaccaro	0.50
----------------	-------------

TOTALE

2.40



ALTRI SERVIZI

Officina meccanica	2 m.u
--------------------	--------------

Richieste alla sezione

- Qualifica del DAC LT1668
 - elettronica: progettazione di schedine di test
- Squid Control Units
 - elettronica: prototipi (in collaborazione con MIB)
 - meccanica: Studio dell'interfaccia meccanica e termica con il satellite)
 - cryofacility dedicata
 - laboratorio?

Finanziamento richiesto per il 2020

- Qualifica del DAC LT1668
 - Realizzazione di prototype-boards 5k
 - Simulazione del danno da radiazione
 - Test su fascio (PSI - Legnaro - Dresden - Calliope ENEA) 10k 1 settimana Altri consumi
 - Preparazione del report di compatibilità
 - Attività da cominciare il prima possibile, anticipabile al 2019
- Squid Control Units
 - Realizzazione di schede prototipo basate sull'attuale disegno 10k
 - Semplificazione del disegno elettronico
 - Simulazione della catena di SQUID readout 2k
 - Studio dell'interfaccia meccanica 3k
 - Affitto facility per vibrazioni 5k
 - Studio dell'interfaccia termica
 - Stima con partner industriale del framework temporale-economico 20k÷30k altri consumi n.a.c.??
 - Preparazione delle test facility
 - warm
 - criogenica 60kEUR
 - comprare SQUID US 10kEUR (500US\$/each)
- Simulazione dell'interazione detector-raggi cosmici (SW 5k)
- Studio dell'impatto del rumore dei rivelatori e della catena elettronica sulle performance scientifiche dell'esperimento
- Missioni

FINE

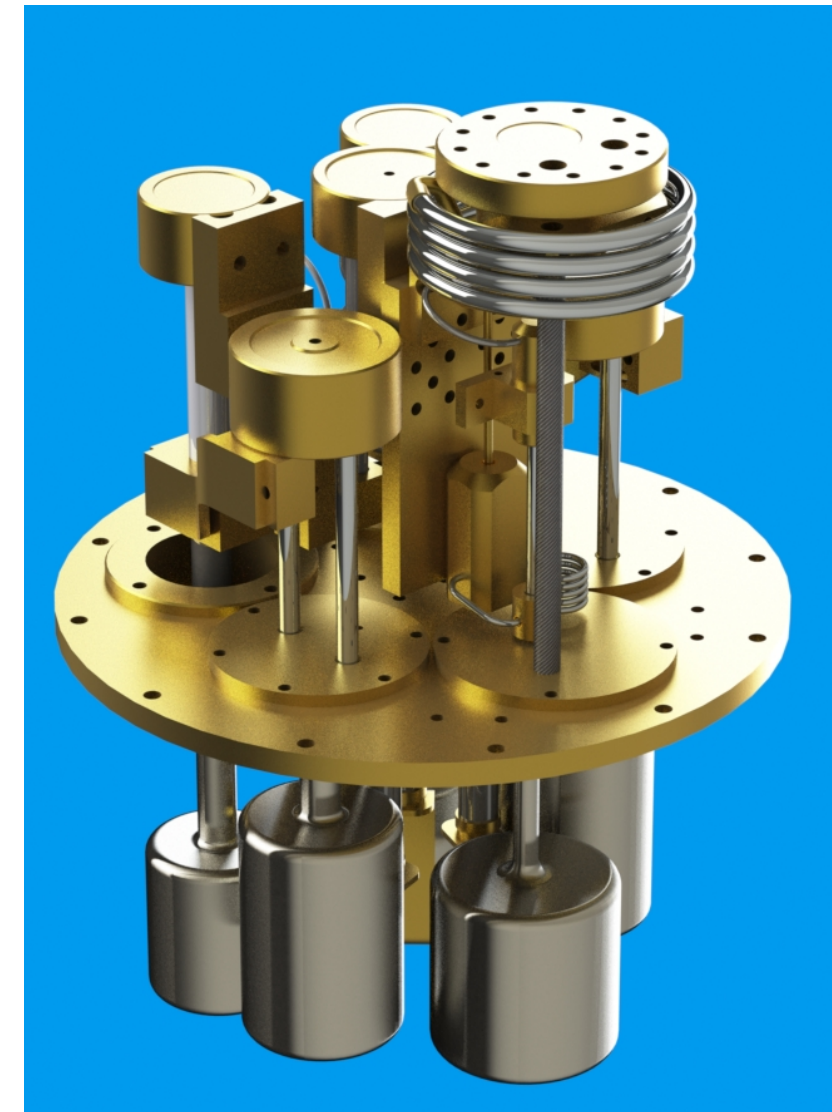
Hi Giovanni,

We do indeed now produce dilutor modules. They are not yet fully commercial, but we are making rapid progress in this. The current systems will run continuously from a mechanical pre-cooler platform, achieve a base temperature of around 75mK, and will run at 100mK under a few microWatts of load. we hope soon to improve on this.

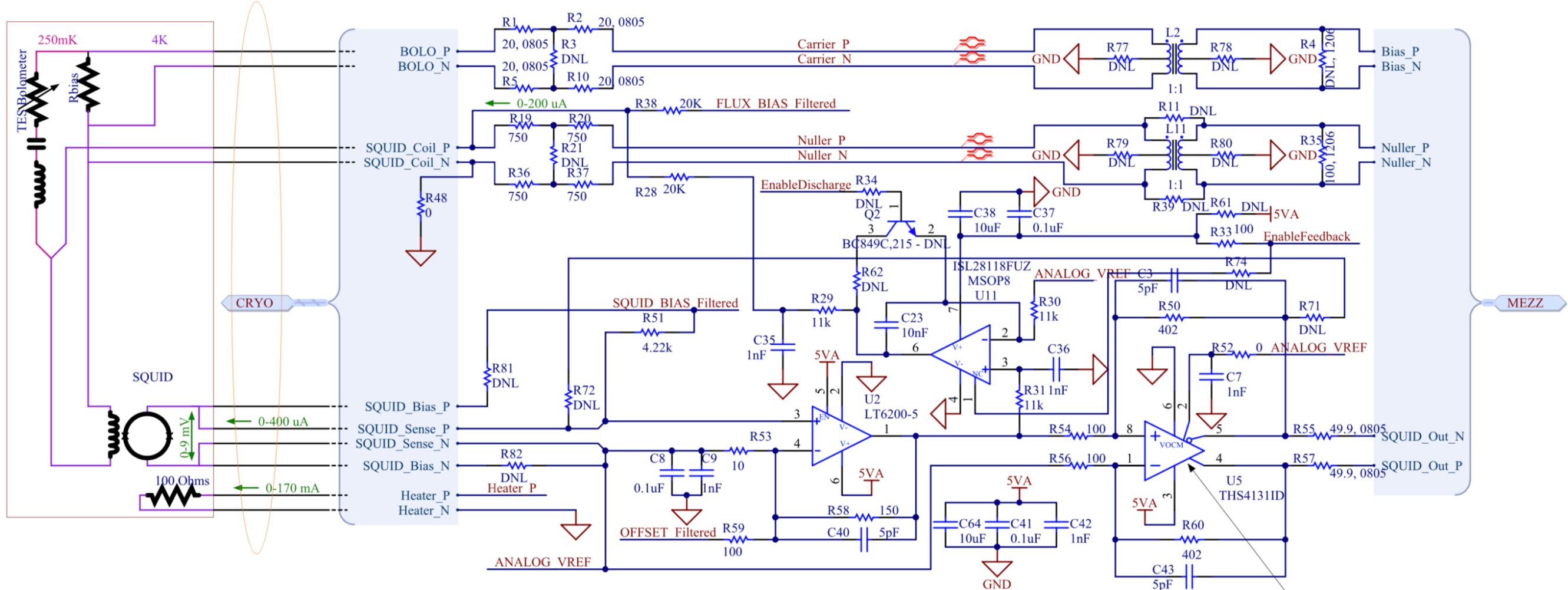
I have attached a picture (Solidworks render) of the current iteration of what we refer to as A 'CC-' cooler. The picture is upside down compared to the operating orientation, of course, as the cold heads must point downwards when it is running. The circular main interface plate (mainplate) is 17cm in diameter, and the entire cooler system is about 24 cm tall. It is fully modular, so it is easy to replace the dilutor module, for example. The sorb pumps are below the mainplate in this picture, as is the expansion tank for the dilutor mix (front middle).

At present we are putting a total of around 7 or 8 STP litres of 3He into these devices. With luck a redesigned version will need a bit less. They are currently priced at around £64K Sterling inclusive of the gas, and around £46.5K Sterling ex.gas.

Best regards,
Simon.



BIAS and NULLER PASSTHROUGH



(MGNGSQ4, but equivalent to STDP SCU)